

DAFTAR PUSTAKA

- Afriza, D., Suriyah, W. H., & Ichwan, S. J. A. 2018. In silico analysis of molecular interactions between the anti-apoptotic protein survivin and dentatin, nordentatin, and quercetin. *Journal of Physics: Conference Series*, 1073(3).
- Akula, R., dan Ravushankar, G.A. 2011. Influence Of Abiotic Stress Signals On Secondary Metabolites In Plants. *Plant Signaling & Behavior*, **6 (11)**, 1720-1731.
- Anggadiredja, J.T. 2009. Ethnobotany study of seaweed diversity and its utilization in Warambadi, Panguhalodo areas of East Sumba district, *Jurnal Teknologi Lingkungan* ,**10**, 297–310.
- Aparna, V., Dileep, K. V, Mandal, P. K., Karthe, P., Sadasivan, C., & Haridas, M. 2012. Anti-Inflammatory Property of n-Hexadecanoic Acid: Structural Evidence and Kinetic Assessment. *Chem Biol Drug*, **80**, 434–439.
- Antony† T, Chakraborty† K. 2018. First report of antioxidant abeo-labdane type diterpenoid from intertidal red seaweed *Gracilaria salicornia* with 5-lipoxygenase inhibitory potential. *Natural Product Research* 34(10): 1409–1416.
- Antony T, Chakraborty K. 2020a. Anti-inflammatory polyether triterpenoids from the marine macroalga *Gracilaria salicornia*: Newly described natural leads attenuate pro-inflammatory 5-lipoxygenase and cyclooxygenase-2. *Algal Research* 47:101791.
- Antony T, Chakraborty K. 2020b. First report of antioxidative 2H-chromenyl derivatives from the intertidal red seaweed *Gracilaria salicornia* as potential anti-inflammatory agents. *Natural Product Research* 34(24): 3470–3482.
- Barbouchi M, Elamrani K, el Idrissi M, Choukrad M. 2020. A comparative study on phytochemical screening, quantification of phenolic contents and antioxidant properties of different solvent extracts from various parts of *Pistacia lentiscus* L. *Journal of King Saud University – Science* 32(1): 302–306.
- Barnes, P.J. 2011. Glucocorticosteroids: Current and Future Directions. *Br. J. Pharmacol.*, 163, 29–43, doi:10.1111/j.1476-5381.2010.01199.x.
- Baylac S, Racine P. 2003. Inhibition of 5-lipoxygenase by essential oils and other natural fragment extracts. *Int J Aromather.* 13(2–3):138–142

- Boik, J. 2001. Natural Compounds In Cancer Therapy. *Oregon Medical Press*, Minnesota , USA.
- Boligon, Aline Augusti, Michel Mansur Machado, & Margareth Linda Athayde. 2014. Technical Evaluation of Antioxidant Activity. *Med Chem.* 4(7): 517-522. DOI:10.4172/2161-0444.1000188.
- Brunton, L., Parker, K., Blumenthal, D., dan Buxton, I., 2008. Goodman & Gilamn's Manual of Pharmacology and Therapeutics. United States of America: *The McGraw-Hill Companies, Inc.*
- Cacheiro-Llaguno, C.; Hernández-Subirá, E.; Díaz-Muñoz, M.D.; Fresno, M.; Serrador, J.M.; Íñiguez, M.A. 2022. Regulation of Cyclooxygenase-2 Expression in Human T Cells by Glucocorticoid Receptor-Mediated Transrepression of Nuclear Factor of Activated T Cells. *Int. J. Mol. Sci.*, 23.
- Case, D.A., Babin, V., Berryman J.T., and Ana Bets, R.M., 2014. *AMBER 14 Reference Manual*. San Francisco: University of California.
- Cao, S.G., Valerie, H.L., Wu, X.H., Sim, K.Y., Tan, B.H.K., Pereira, J.T., and Goh, S.H. 1998. Novel Cytotoxic Polyprenylated Xanthenes from *Garcinia gaudichaudii*. *Tetrahedron*, 54: 10915-10924.
- Chakraborty K, Antony T. 2019. First report of spiro-compounds from marine macroalga *Gracilaria salicornia*: prospective natural anti-inflammatory agents attenuate 5-lipoxygenase and cyclooxygenase-2. *Natural Product Research* 35(5): 770–781.
- Chakraborty K, Antony T, Joy M. 2019. Prospective natural anti-inflammatory drimanes attenuating pro-inflammatory 5-lipoxygenase from marine macroalga *Gracilaria salicornia*. *Algal Research* 40: 101472.
- Chaves, L.D.S.L., Nicolau, L.A.D., Silva, R.O., Barros, F.C.N., Freitas, A.L.P., Aragão, K.S., Ribeiro, R.D.A., Souza, M.H.L.P., Barbosa, A.L.D.R. Medeiros, J.-V.R. 2013. Antiinflammatory and antinociceptive effects in mice of a sulfated polysaccharide fraction extracted from the marine red algae *Gracilaria caudata*, *Immunopharmacol. Immunotoxicol*, **35**, 93–100. <https://doi.org/10.3109/08923973.2012.707211>.
- Chen, H. H. W., & Kuo, M. T. (2017). Improving radiotherapy in cancer treatment: Promises and challenges. *Oncotarget*, 8(37), 62742. <https://doi.org/10.18632/ONCOTARGET.18409>.
- Chen, K.J., Tseng, C.-K., Chang, F.-R., Yang, J.-I., Yeh, C.-C., Chen, W.-C., Wu, S.-F., Chang, H.-W. Lee, J.-C. 2013. Aqueous extract of the edible *Gracilaria tenuistipitata* inhibits hepatitis C viral replication via

cyclooxygenase-2 suppression and reduces virus-induced inflammation. *National Library of Medicine*. <https://doi.org/10.1371/journal.pone.0057704>.

Chengkui, Z., Tseng, C.K., Junfu, Z., Chang, C.F. 1984. Chinese seaweeds in herbal medicine. *Hydrobiologia*, **116–117**, 152–154.

Coura, C.O., Souza, R.B., Rodrigues, J.A.G., Vanderlei, E.D.S.O., de Araújo, I.W.F., Ribeiro, N.A., Frota, A.F., Ribeiro, K.A., Chaves, H.V., Pereira, K.M.A., da Cunha, R.M.S., Bezerra, M.M., Benevides, N.M.B. 2015. Mechanisms involved in the anti-inflammatory action of a polysulfated fraction from *Gracilaria cornea* in rats. *National Library of Medicine*. <https://doi.org/10.1371/journal.pone.0119319>.

Corwin, E.J., 2008. *Handbook of Pathophysiology* 3th edition. Philadelphia: Lippincott Williams & Wilkins.

Dermawan, D., Sumirtanurdin, R., and Dewantisari, D., 2019. Molecular Dynamics Simulation of Estrogen Receptor Alpha Against Andrografolid as Anti Breast Cancer Simulasi Dinamika Molekular Reseptor Estrogen Alfa dengan Andrografolid sebagai Antikanker Payudara. *Indonesian Journal of Pharmaceutical Science and Technology* 6(2), 65–76. doi: 10.24198/ijpst.v6i2.18168.

Dewi, N. L. A, Adnyani, L. P. S, Pratama, R. B. R, Yanti, N. N. D, Manibuy, J. I., Warditiani N. K. 2018. Pemisahan, Isolasi, dan Identifikasi Senyawa Saponin dari Herba Pegagan (*Centella asiatica* L. Urban). *Jurnal Farmasi Udayana*, Vol 7, No 2, Tahun 2018, 68-76. pISSN: 2301-7716; eISSN: 2622-4607.

Dewick, P.M 2009. *Medical Natural Product: A Biosynthetic Approach*, 3rd Edition. *John Wiley & Sons*, Ltd. United Kingdom, ISBN: 978-0-470-74168-9.

Du, X.; Li, Y.; Xia, Y.-L.; Ai, S.-M.; Liang, J.; Sang, P.; Ji, X.-L.; Liu, S.-Q. 2016. Insights into Protein–Ligand Interactions: Mechanisms, Models, and Methods. *Int. J. Mol. Sci.*, 17.

Fanning, S.W.; Hodges-Gallagher, L.; Myles, D.C.; Sun, R.; Fowler, C.E.; Plant, I.N.; Green, B.D.; Harmon, C.L.; Greene, G.L.; Kushner, P.J. 2018. Specific Stereochemistry of OP-1074 Disrupts Estrogen Receptor Alpha Helix 12 and Confers Pure Antiestrogenic Activity. *Nat. Commun.*, 9, 2368, doi:10.1038/s41467-018-04413-3.

Fitrya, D., Mohdp Shaharom, F., Abellana Orosco, C., Manaf Ali, A. 2016. Biological Activities of Isolated Compounds from Three Edible Malaysian Red Seaweeds, *Gracilaria changii*, *G. manilaensis* and *Gracilaria* sp. *Natural Product Communication* 11(8), 1117-1120.

- Fu, X.M., Zhang, M.Q., Shao, C.L., Li, G.Q., Bai, H., Dai, G.L., Chen, Q.W., Kong, W., Fu, X.J., Wang, C.Y. 2016. Chinese marine Materia medica resources: status and potential. *Mar. Drugs*, **14**,1–27.
- Fuhrmann, J., Rurainski, A., Lenhof, HP., Neumann, D. 2010. A new Lamarckian genetic algorithm for flexible ligand-receptor docking. *Journal of Computational Chemistry* 31(9), 1911–8. doi: 10.1002/jcc.21478. PMID: 20082382.
- Frimayanti N, Mora E, & Anugrah R. Study of Molecular Docking of Chalcone Analogue Compound as Inhibitors for Liver Cancer Cells HepG2. *Comp Eng Appl J.* 2018; 7(2): 137-147.
- Geetha, R. G., & Ramachandran, S. 2021. Recent Advances in the Anti-Inflammatory Activity of Plant-Derived Alkaloid Rhynchophylline in Neurological and Cardiovascular Diseases. *Pharmaceutics*, 13(8), 1170. doi:10.3390/pharmaceutics13081170.
- Gerwick, W.H. and Bernart, M.W., 1993. *Eicosanoids and Related Compounds from Marine Algae.* (Eds) *Pharmaceutical and bioactive natural products.* Springer: Boston.
- Ghannadi, A., Shabani,L., dan Yegdaneh,A. 2016. Cytotoxic, antioxidant and phytochemical analysis of *Gracilaria* species from Persian Gulf. *National Library of Medicine* . doi: 10.4103/2277-9175.187373.
- Giménez-Bastida, J.A.; Boeglin, W.E.; Boutaud, O.; Malkowski, M.G.; Schneider, C. 2019. Residual Cyclooxygenase Activity of Aspirin-Acetylated COX-2 Forms 15R-Prostaglandins That Inhibit Platelet Aggregation. *FASEB J.*, 33, 1033–1041, doi:https://doi.org/10.1096/fj.201801018R.
- Guerrero, A., M. D'Ambrosio, F. Pietra, C. Debitus and O. Ribes. 1993. Pteridines, sterols, and indole derivatives from the lithistid sponge *Corallistes undulatus* of the coral sea. *Journal of Natural Products* 56(11):1962-1970.
- Guiry in Guiry, M.D. & Guiry, G.M. 2020. *AlgaeBase*. World-wide electronic publication, National University of Ireland, Galway. <http://www.algaebase.org>; searched on 06 July 2020.
- Khare, C.P. 2007. Indian Medicinal Plants - an Illustrated Dictionary, *Springer New York*, New York, NY, <https://doi.org/10.1007/978-0-387-70638-2>.
- Korbecki, J., & Bajdak-Rusinek, K. (2019). The effect of palmitic acid on inflammatory response in macrophages: an overview of molecular

- mechanisms. *Inflammation Research*, **68**, 915–932. <https://doi.org/10.1007/s00011-019-01273-5>.
- Liana, E.G. 1990. Status of production and utilization of seaweeds in the Philippines, Regional Workshop on the Culture and Utilization of Seaweeds. *Technical Resource Papers*, 124–149,
- Luo, Meng-Lan, Wei Huang, Hong-Ping Zhu, Cheng Peng, Qian Zhao, Bo Han. 2022. Advances in indole-containing alkaloids as potential anticancer agents by regulating autophagy. *Biomedicine & Pharmacotherapy* **149**. 112827. <https://doi.org/10.1016/j.biopha.2022.112827>.
- Makkar, F., Chakraborty, K. 2017. Antidiabetic and anti-inflammatory potential of sulphated polygalactans from red seaweeds *Kappaphycus alvarezii* and *Gracilaria opuntia*, *Int. J. Food Prop*, **20**, 1326–1337. <https://doi.org/10.1080/10942912.2016.1209216>.
- Mardianingrum, R., Yusuf, M., Hariono, M., Gazzali, A., and Muchtaridi, M., 2020. α -Mangostin and Its Derivatives Against Estrogen Receptor Alpha. *Journal of Biomolecular Structure and Dynamics*, 1–14. doi: 10.1080/07391102.2020.1841031.
- Mardianingrum, R., Bahtiar, KR., Susanti, S., Nuraisah, A., and Ruswanto, R., 2021. Studi In Silico Senyawa 1,4-Naphthalenedione-2-Ethyl-3-Hydroxy sebagai Antiinflamasi dan Antikanker Payudara. *ALCHEMY Jurnal Penelitian Kimia*, Vol. 17(1) 2021, 83-95. doi: 10.20961/alchemy.17.1.43979.83-95.
- Marliana, Soerya Dewi!, Venty Suryanti, Suyono. 2005. Skrining Fitokimia dan Analisis Kromatografi Lapis Tipis Komponen Kimia Buah Labu Siam (*Sechium edule* Jacq. Swartz.) dalam Ekstrak Etanol. *Biofarmasi* **3** (1): 26-31, Pebruari 2005, ISSN: 1693-2242.
- Mazumder, S., Ghosal, P.K., Pujol, C.A., Carlucci, M.J., Damonte, E.B., Ray, B. 2002. Isolation, chemical investigation and antiviral activity of polysaccharides from *Gracilaria corticata* (Gracilariaceae, Rhodophyta), *Int. J. Biol. Macromol*, **31**, 87–95. [https://doi.org/10.1016/S0141-8130\(02\)00070-3](https://doi.org/10.1016/S0141-8130(02)00070-3).
- Mclaughlin, J.L., dan Rogers, L.L. 1998. The Use of biological Assay to Evaluate Botanicals *Drugs Int. J.*, **32**: 513-524.
- Merdekawati, W., & Susanto, A. B. 2009. Kandungan Dan Komposisi Pigmen Rumput Laut Serta Potensinya Untuk Kesehatan. *Squalen Bulletin of Marine and Fisheries Postharvest and Biotechnology*, **4**(2), 41.

- Meyer B.N., Ferrigni, N.R., Putman, J.E., Jacobson, L.B., Nichol, DE, Mc Laughlin, J.L. 1982. Brine Shrip: A convenient general bioassay for active plant constituents. *Journal of medical Plant Research*; **45**:31-34.
- Min, J.; Nwachukwu, J.C.; Min, C.K.; Njeri, J.W.; Srinivasan, S.; Rangarajan, E.S.; Nettles, C.C.; Sanabria Guillen, V.; Ziegler, Y.; Yan, S.; et al. 2021. Dual-Mechanism Estrogen Receptor Inhibitors. *Proc. Natl. Acad. Sci.*, 118, e2101657118, doi:10.1073/pnas.2101657118.
- Mohan. 2003. Buffers: A guide for the preparation and use of buffers in biological systems. *Germany: Calbiochem*.
- Moo-Puc R, Robledo D, and Pelegrin Y.F., 2009. Actividad citotóxica y antiproliferativa in vitro de macroalgas marinas de Yucatán, México. *Ciencias Marinas*, **35**, 345–358.
- Muttaqin, F. Z., Kharisma, D., Asnawi, A., & Kurniawan, F. 2020. Pharmacophore and Molecular Docking-Based Virtual Screening of B-Cell Lymphoma 2 (BCL 2) Inhibitor from Zinc Natural Database as Anti-Small Cell Lung Cancer. *Journal of Drug Delivery and Therapeutics*, 10(2), 143–147.
- Nadkarni, A.K., 1996 Dr. K.M. Nadkarni's Indian materia medica: with Ayurvedic, UnaniTibbi, Siddha, allopathic, homeopathic, naturopathic & home remedies, appendices & indexes, 3rd ed., Popular Prakashan, Mumbai.
- Namvar, F. et al. 2014. Antioxidant and anticancer activities of selected Persian Gulf algae. *Ind. J. Clin. Biochem*, **29**, 13–20.
- Nasir, M., Saeidnia, S., Mashinchian-Moradi, A. and Gohari, A.R., 2011. Sterols from the Red Algae, *Gracilaria salicornia* and *Hypnea flagelliformis*, from Persian Gulf. *Pharmacognosy Magazine*. 7(26):97–100.
- Oumaskour, K., Boujaber, N., Etahiri, S., Assobhei, O. 2013. Anti-inflammatory and antimicrobial activities of twenty-tree marine red algae from the coast of Sidi Bouzid (El Jadida-Morocco), *Int J Pharm Pharm Sci*, **5**, 145–149.
- Osborne, C.K.; Wakeling, A.; Nicholson, R.I. 2004. Fulvestrant: An Oestrogen Receptor Antagonist with a Novel Mechanism of Action. *Br. J. Cancer*, 90 Suppl 1, S2-6, doi:10.1038/sj.bjc.6601629.
- Ostraff, M. 2003. Contemporary Uses of Limu (Marine Algae) in the Vava'u Island Group, Kingdom of Tonga: *An Ethnobotanical Study*.
- Paliany, Audra & Sivasothy, Yasodha & Awang, Khalijah & Rizman-Idid, Mohammed & Alias, Siti. 2014. Marine Derived Fungi of Peninsular

- Malaysia - a Biochemical Perspective. *Chiang Mai Journal of Science*. 41. 894-909.
- Paramsivam, R., Sudevan, S., Sundar, S., Ramasamy, V. 2016. Study on metabolic compounds of *Gracilaria salicornia* against anti-inflammatory activity. *Int. J. Curr. Microbiol. App. Sci*, **5**, 202–211. <https://doi.org/10.20546/ijcmas.2016.504.025>.
- Popjak, G., Edmond, J., Anet, F. A. L., & Easton, N. R. 1977. Carbon-13 NMR studies on cholesterol biosynthesized from [¹³C]mevalonates. *Journal of the American Chemical Society*, **99**(3), 931–935. doi:10.1021/ja00445a041.
- Puratchikody, A., Sriram, D., Umamaheswari, A., and Irfan, N., 2016. 3D Structural Interactions and Quantitative Structural Toxicity Studies of Tyrosine Derivatives Intended for Safe Potent Inflammation Treatment. *Chemistry Central Journal* **10**(24), 1–19. doi: 10.1186/s13065-016-0169-9.
- Riset Kesehatan Dasar (Riskesdas). 2018. Badan Penelitian dan Pengembangan Kesehatan Kementerian RI tahun 2018.
- Ruswanto. 2015. Molecular Docking Empat Turunan Isonicotinohydrazide pada Myco bacterium Tuberculosis Enoyl-Acyl Carrier Protein Reductase (InhA). *Jurnal Kesehatan Bakti Tunas Husada* **13**(1), 135–141.
- Robbins. 2004. Buku Ajar Patologi Robbins Edisi 7 Volume 1. Jakarta : Penerbit Buku Kedokteran EGC.
- Roe, DR. and Cheatham III, TE. 2013. PTRAJ and CPPTRAJ: software for processing and analysis of molecular dynamics trajectory data. *Journal of Chemical Theory and Computation* **9**(7), 3084–3095. doi: 10.1021/ct400341p.
- Rogge, C.E.; Ho, B.; Liu, W.; Kulmacz, R.J.; Tsai, A.-L. 2006. Role of Tyr348 in Tyr385 Radical Dynamics and Cyclooxygenase Inhibitor Interactions in Prostaglandin H Synthase-2. *Biochemistry*, **45**, 523–532, doi:10.1021/bi051235w.
- Rowlinson, S.W.; Kiefer, J.R.; Prusakiewicz, J.J.; Pawlitz, J.L.; Kozak, K.R.; Kalgutkar, A.S.; Stallings, W.C.; Kurumbail, R.G.; Marnett, L.J. 2003. A Novel Mechanism of Cyclooxygenase-2 Inhibition Involving Interactions with Ser-530 and Tyr-385 *. *J. Biol. Chem.*, **278**, 45763–45769, doi:10.1074/jbc.M305481200.
- Sajjadi, S.E., Ghanadian, M., Haghghi, M., Mouhebat, L. 2015. Cytotoxic Effect of *Cousinia verbascifolia* Bunge Against OVCAR-3 and HT-29 Cancer Cells. *Journal of Herbmed Pharmacology*, **4**(1): 15-19.

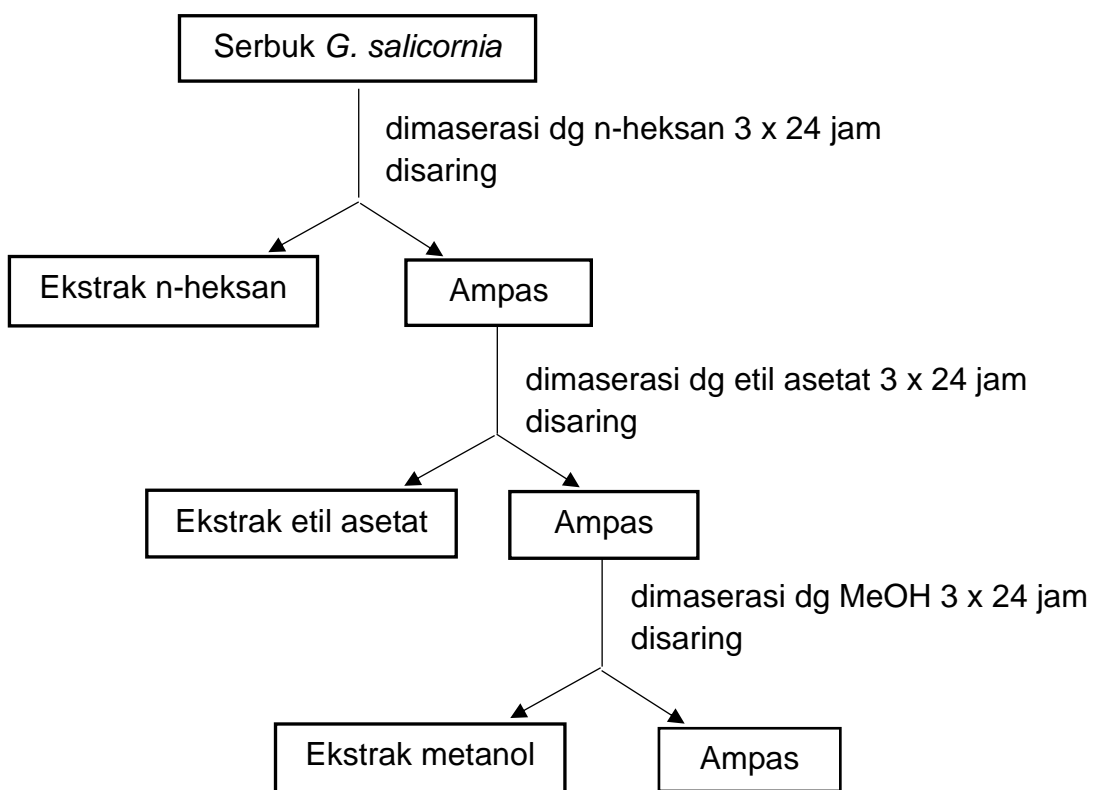
- Saeidnia S, Gohari A R, Shahverdi A R, Perme P, Nasiri M, Mollazadeh K, Farahani F. 2009. Biological activity of two red algae, *Gracilaria salicornia* and *Hypnea flagelliformis* from Persian Gulf. *Phcog Res*,**1**,428-30.
- Salomon-Ferrer, D.A. Case, R.C. Walker. 2013. An overview of the Amber biomolecular simulation package. *Wiley Interdisciplinary Reviews: Computational Molecular Science* **3**, 198–210.
- Sakthivel, R., Muniasamy, S., Archunan, G., Devi, K.P. 2016. *Gracilaria edulis* exhibit antiproliferative activity against human lung adenocarcinoma cell line A549 without causing adverse toxic effect in vitro and in vivo. *Food Funct*, **7**,1155–1165.
- Sheeja, L. Lakshmi, D. Bharadwaj, S., Parveen, K.S. 2016. Anticancer activity of phytol purified from *Gracilaria edulis* against human breast cancer cell line (MCF-7), *Int. J. Curr. Sci*, **9**,36–46.
- Shiau, A.K.; Barstad, D.; Loria, P.M.; Cheng, L.; Kushner, P.J.; Agard, D.A.; Greene, G.L. 1998. The Structural Basis of Estrogen Receptor/Coactivator Recognition and the Antagonism of This Interaction by Tamoxifen. *Cell*, **95**, 927–937, doi:10.1016/S0092-8674(00)81717-1.
- Shu, M.-H., Appleton, D. Zandi, K., Abubakar, S. 2013. Anti-inflammatory, gastroprotective and anti-ulcerogenic effects of red algae *Gracilaria changii* (Gracilariales, Rhodophyta) extract, BMC Complement. *Altern. Med*,**13**,61. <https://doi.org/10.1186/1472-6882-13-61>.
- Sjafrie N.D. M., (1990), Beberapa catatan mengenai rumput laut *Gracilaria Oseana*, **XV (4)**,174-155.
- Smith, A.H., Nichols, K., McLachlan, J.1984. Cultivation of seamoss (*Gracilaria*) in St. Lucia, West Indies, *Hydrobiologia*,**116–117**,249–251, <https://doi.org/10.1007/BF00027677>.
- Tambunan, Friend, U.S., Amri, N., and Parikesit, A.A., 2012. In Silico Design of Cyclic Peptides as Influenza Virus, a Subtype H1N1 Neuraminidase Inhibitor. *African Journal of Biotechnology* **11(52)**, 11474–11491. doi: 10.5897/AJB11.4094.
- Trott O & Olson A. 2010. Autodock Vina: Improving The Speed And Accuracy Of Docking With A New Scoring Function, Efficient Optimization And Multi threading. *Journal of Computational Chemistry* **31**, 455–461.
- Wang, Y., Wang, L., Hu, Y., Zhang, L., & Wang, Z. 2010. Isolation and identification of two steroid compounds from Oviductus Ranae. *Natural*

Product Research, 24(16), 1518-1522. doi:10.1080/14786419.2010.484391.

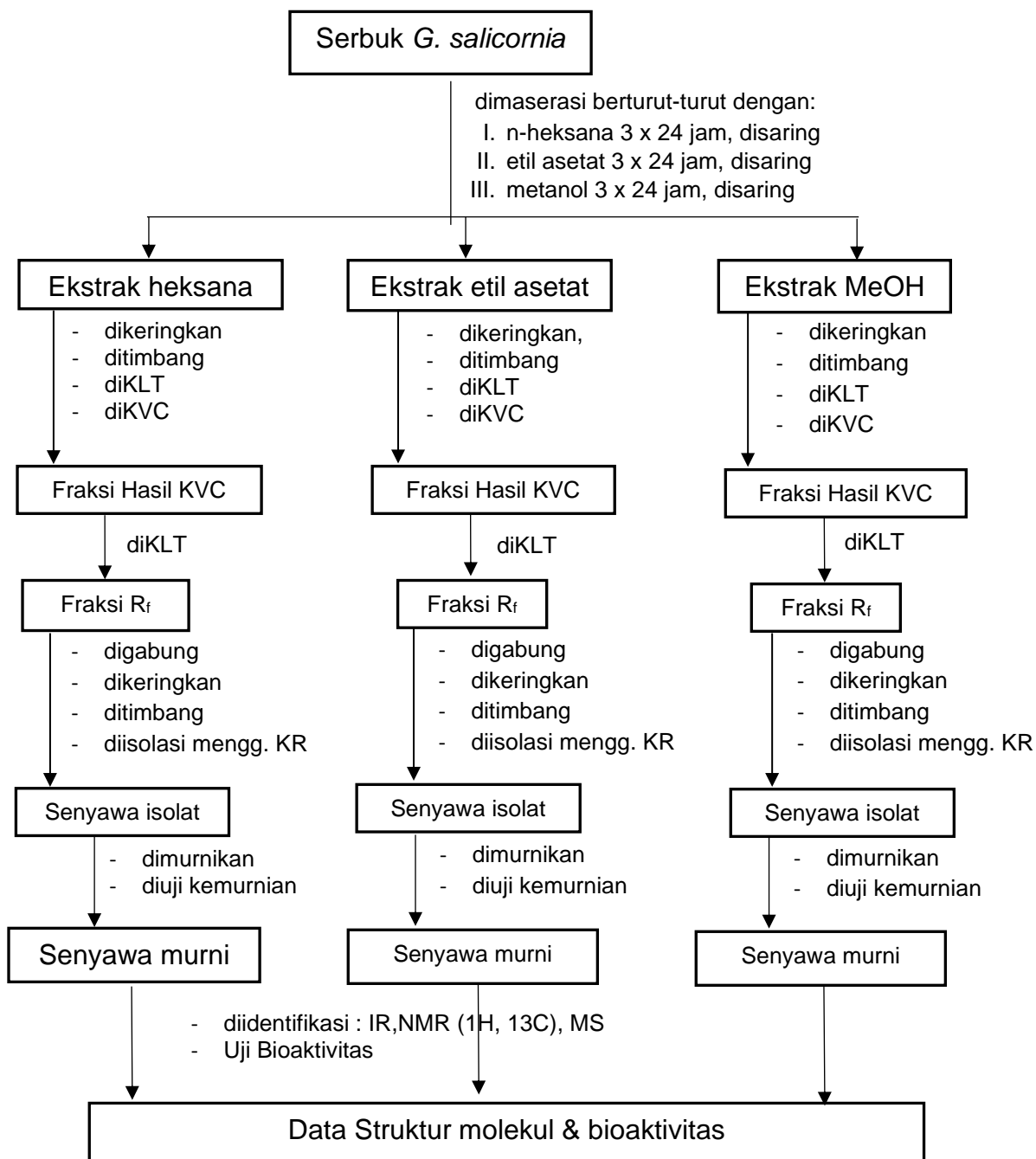
- Watt, G. 2014. A dictionary of the economic products of India, Gossypium to Linociera, Vol. 4 *Cambridge University Press*, 2014. <https://doi.org/10.1017/CBO9781107239173>.
- Widowati, R., Handayani, S., & Lesmana Rahayu, I. (2021). European Journal of Molecular & Clinical Medicine Phytochemicals And Antioxidant Of Methanol Extract Of Gracilaria Salicornia, Halimeda Gracilis, Halimeda Macroloba, And Hypnea Asperi From Tidung Island Coastal Region. *European Journal of Molecular & Clinical Medicine*, 08(01).
- Williams, Dennis M. 2018. Clinical Pharmacology of Corticosteroids. *RESPIRATORY CARE* . VOL 63 NO 6.
- William L.A.D., O'Connar A., Latore L., Dennis O., Ringer S., Whittaker J.A., Conrad C., Vogler B., Rosner H., and Kraus W., 2008. The in vitro denaturation Effects Induced by Natural Products and Non-steroidal Compounds in HeatTreated (Immunogenic) Bovine Albumin is Proposed as a Screening Assay for the Detection of Anti-inflammatory Compounds, without the uses of Animals, in the Early Stages of Drug Discovery Proces. *West Indian Med J*, **54 (4)**,327-330.
- Winarno, F. G. 1996. *Teknologi Pengolahan Rumput Laut*. Pustaka Sinar Harapan. Jakarta.
- Woolner, V. H., Jones, C. M., Field, J. J., Fadzilah, N. H., Munkacsi, A. B., Miller, J. H., Northcote, P. T. 2016. Polyhalogenated Indoles from the Red Alga Rhodophyllis membranacea: The First Isolation of Bromo-Chloro-Iodo Secondary Metabolites. *Journal of Natural Products*, 79(3), 463–469. doi:10.1021/acs.jnatprod.5b00831.
- Valdir C.F. 2012. Plant Bioactivities and Drug Discovery: Principles, Practice, and Perspective. *John iley & Sons, Inc*, Canada.
- Vanderlei, E. de S.O., de Araújo, I.W.F., Quinderé, A.L.G., Fontes, B.P., Eloy, Y.R.G., Rodrigues, J.A.G., Silva, A.A.R.E., Chaves, H.V., Jorge, R.J.B., de Menezes, D.B., Evangelista, J.S.A.M., Bezerra, M.M., Benevides, N.M.B. 2011. The involvement of the HO-1 pathway in the anti-inflammatory action of a sulfated polysaccharide isolated from the red seaweed *Gracilaria birdiae*, *Inflamm. Res*, **60**,1121–1130. <https://doi.org/10.1007/s00011-011-0376-8>.
- Verma MA, Kumar PA; Kavitha D, Anurag KB. 2011. Anti denaturation and antioxidant activities of *Annona cherimola* in vitro. *International Journal of Pharma and Bio Sciences*. **2(2)**:1-6.

Yearley, E.J.; Zhurova, E.A.; Zhurov, V. V; Pinkerton, A.A. 2007. Binding of Genistein to the Estrogen Receptor Based on an Experimental Electron Density Study. *J. Am. Chem. Soc.*, 129, 15013–15021, doi:10.1021/ja075211j.

LAMPIRAN-LAMPIRAN

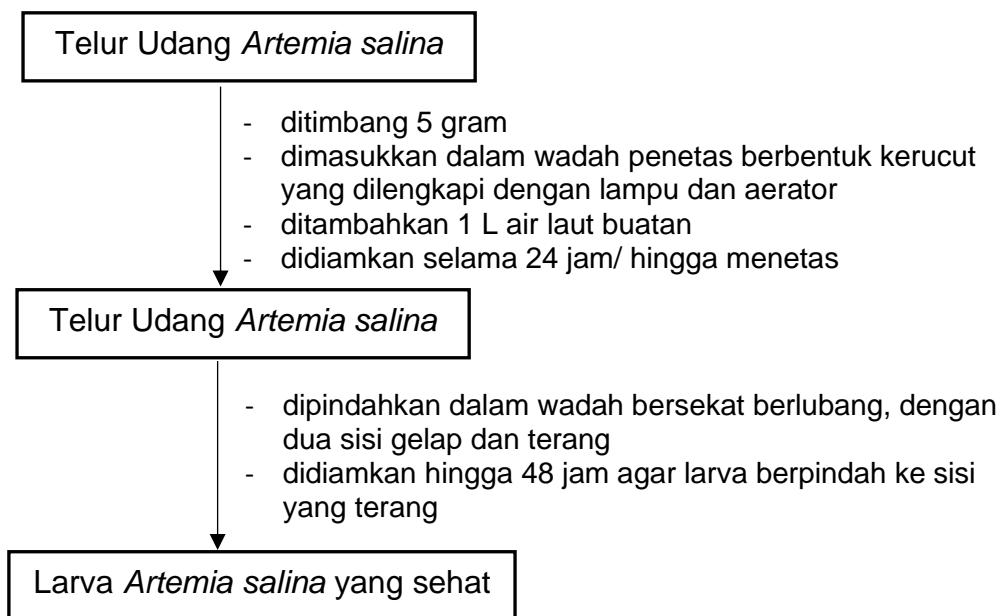
Lampiran 1. Bagan Alir Proses Maserasi Serbuk *G. Salicornia*

Lampiran 2. Bagan Alir Penelitian

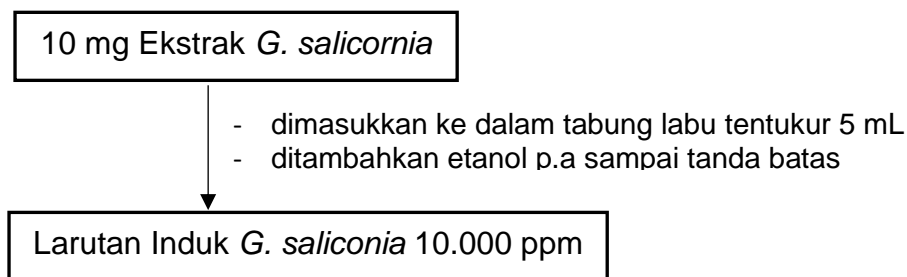


Lampiran 3. Bagan Alir Uji Toksisitas Metode BSLT

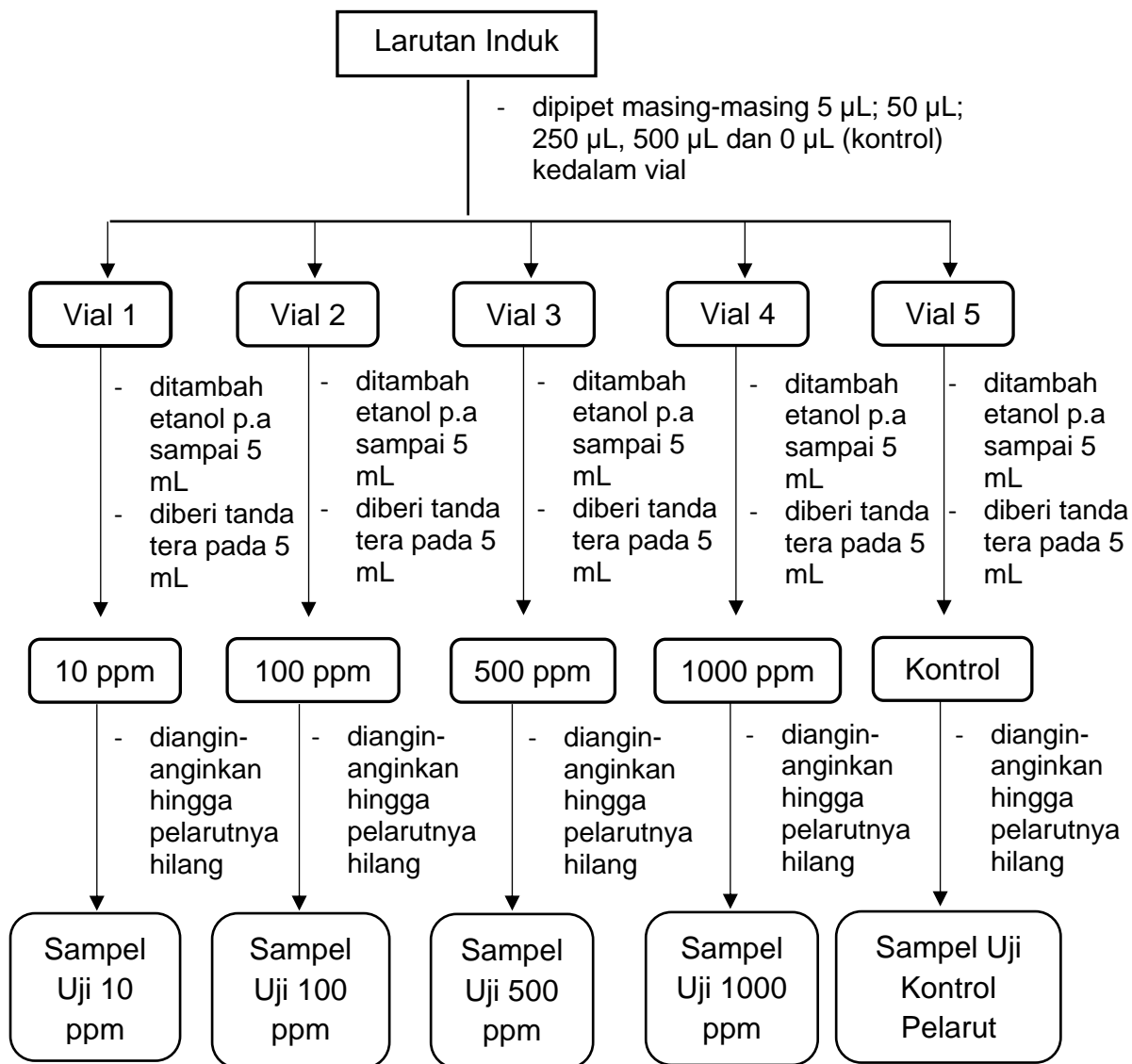
1. Penyiapan Larva Udang



2. Pembuatan Larutan Induk Sampel 10.000 ppm



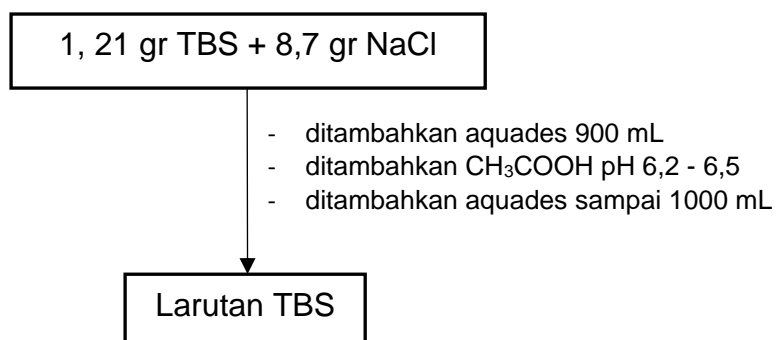
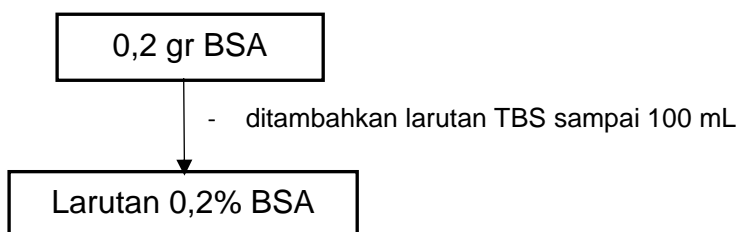
3. Pembuatan Konsentrasi Sampel dan Kontrol



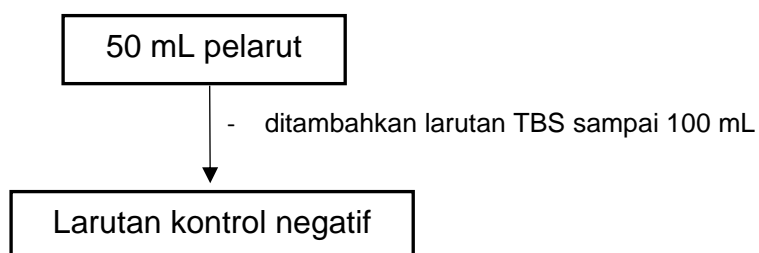
4. Pelaksanaan Uji



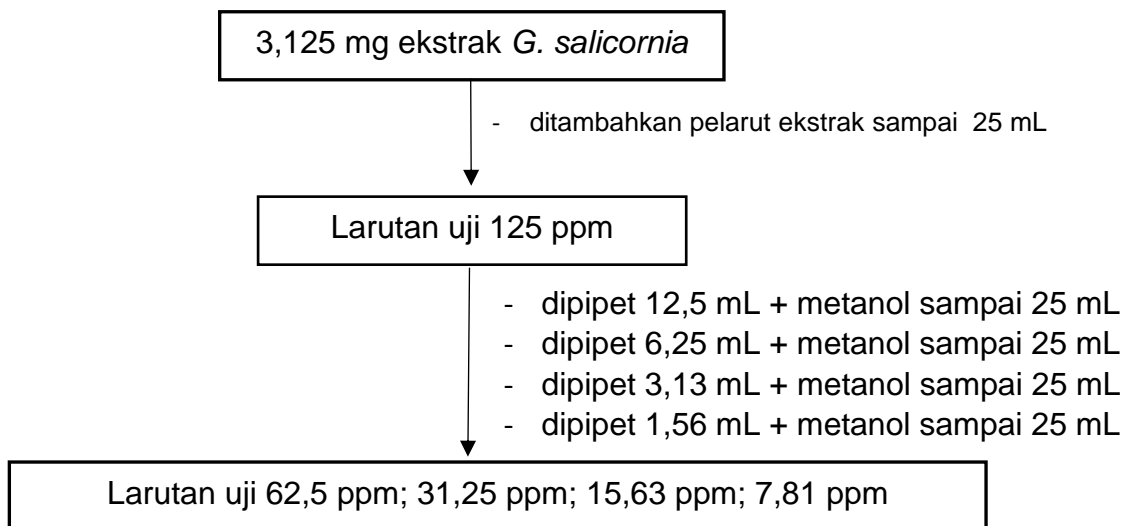
Lampiran 4. Bagan Alir Uji Antiinflamasi

a. Pembuatan Larutan TBS (*Tris Buffer Saline*)b. Pembuatan Larutan 0,2% BSA (*Bovine Serum Albumin*)

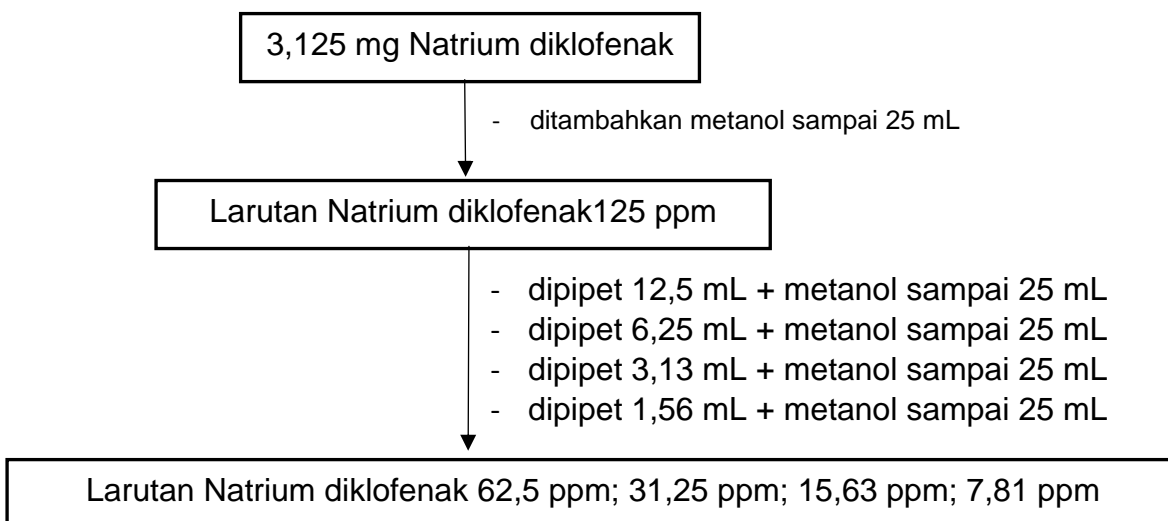
c. Pembuatan Larutan Kontrol Negatif



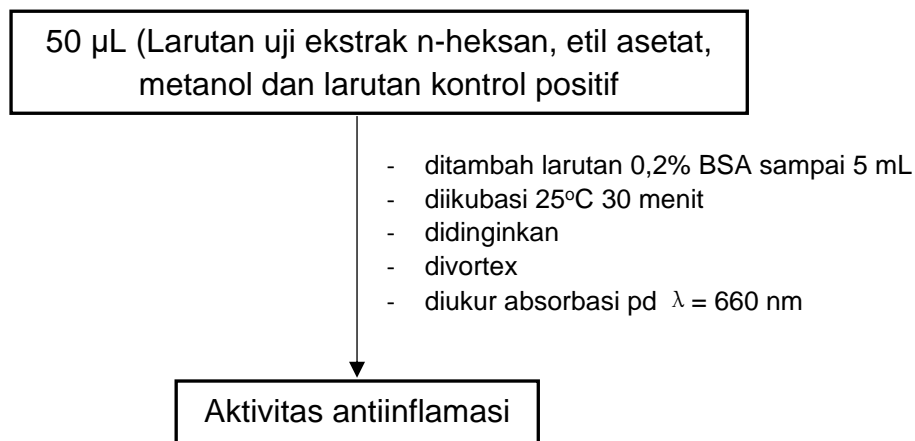
d. Pembuatan Larutan Uji



e. Pembuatan Larutan kontrol positif



f. Pengukuran Aktivitas Antiinflamasi



Perhitungan persentase penghambatan denaturasi protein:

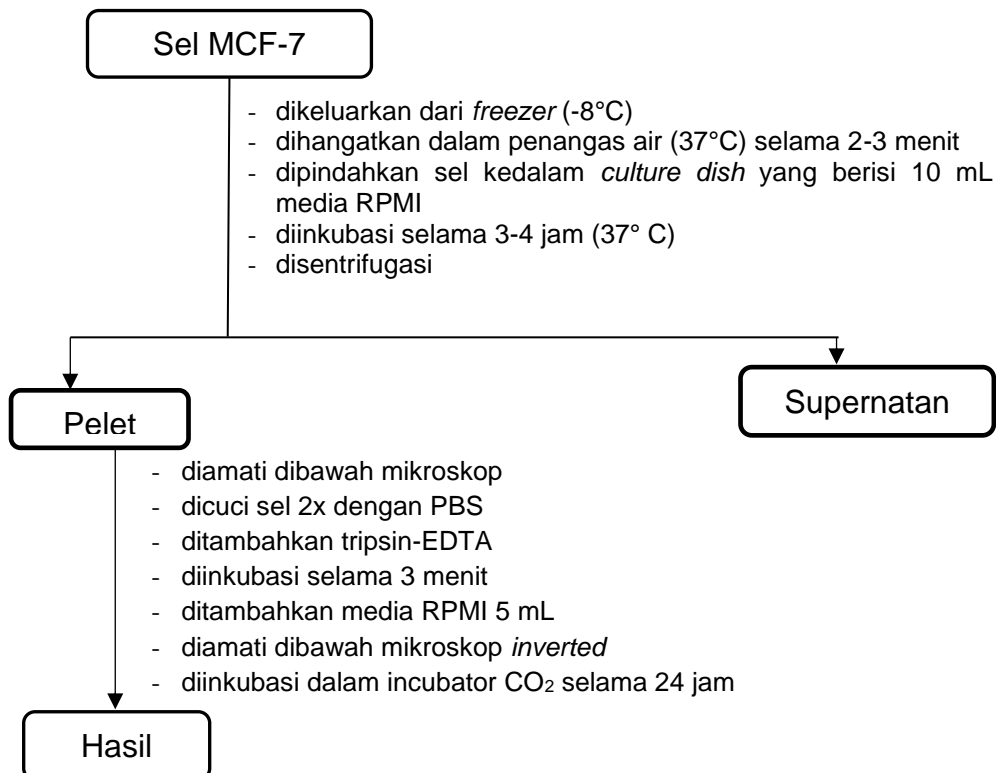
$$\% \text{ inhibisi} = \frac{\text{absorbansi kontrol negatif} - \text{absorbansi larutan uji}}{\text{absorbansi kontrol positif}} \times 100\%$$

Perhitungan Presentase Nilai IC_{50}

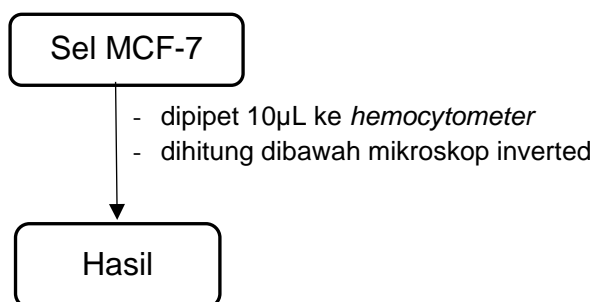
Nilai IC_{50} dihitung dengan membuat persamaan regresi linear antara konsentrasi (X) dengan % inhibisi (Y). Sehingga didapatkan nilai IC_{50} dari ekstrak *Gracilaria salicornia* dan Natrium Diklofenak.

Lampiran 5. Bagan Alir Uji Antikanker Sel MCF-7

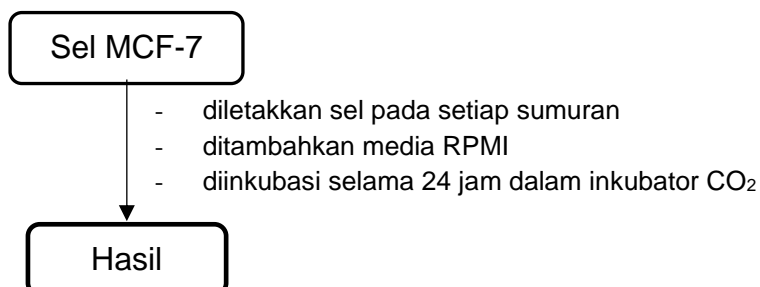
a. Penyiapan Sel



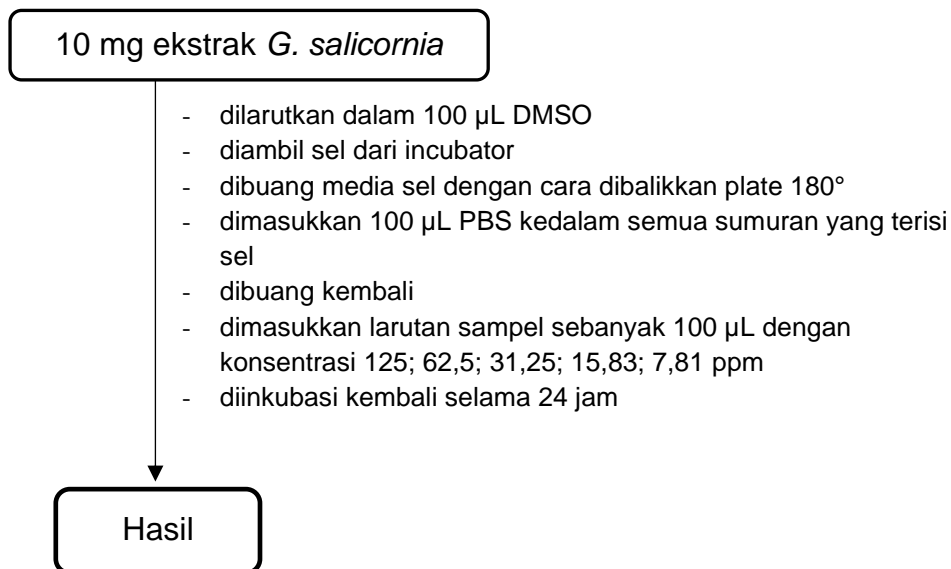
b. Perhitungan sel kanker



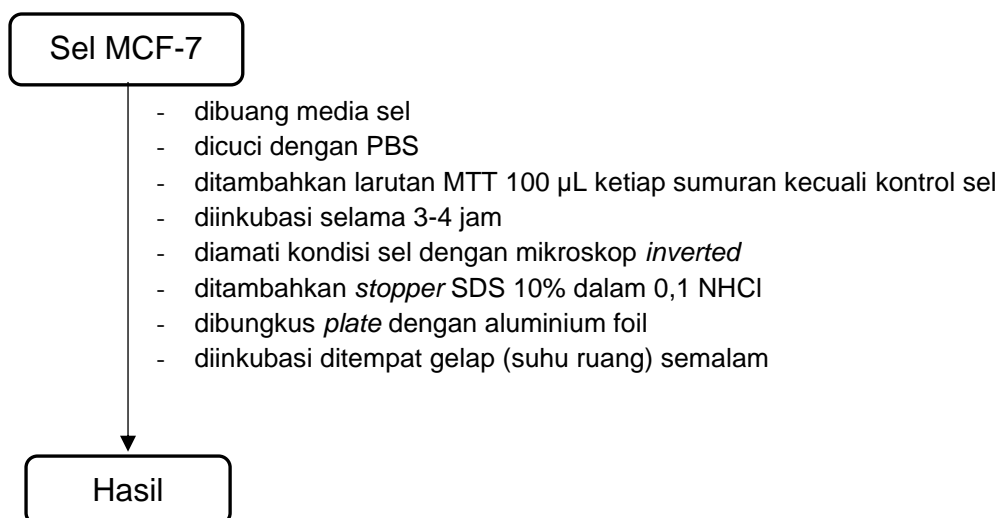
c. Peletakan Sel pada Plate



d. Pembuatan Larutan Sampel dan Pemberian Larutan Sampel pada Plate

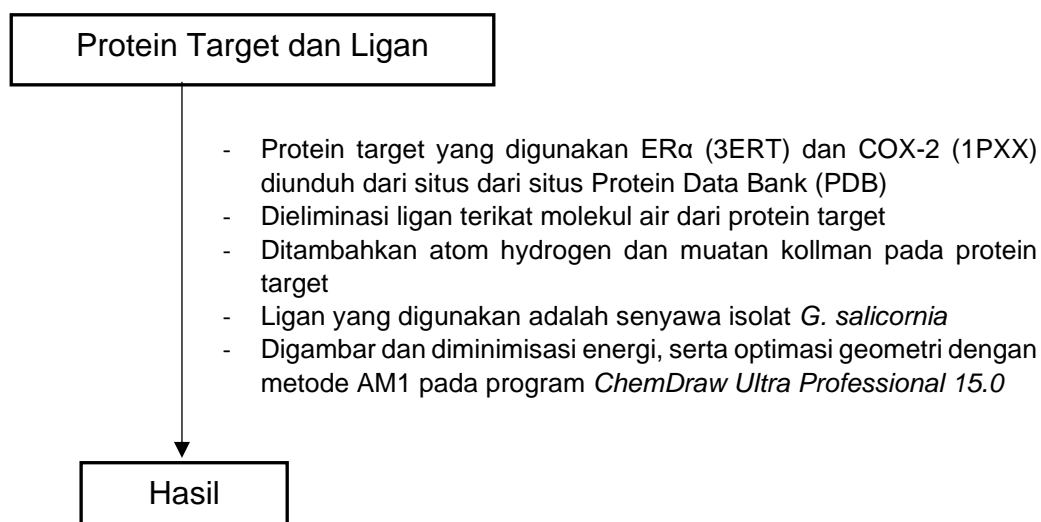


e. Pemberian Larutan MTT

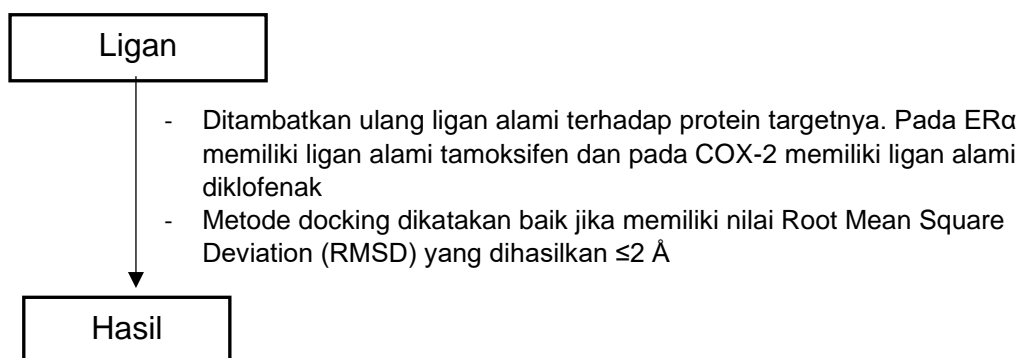


Lampiran 6. Uji *in silico* senyawa sebagai antiinflamasi dan antikanker payudara

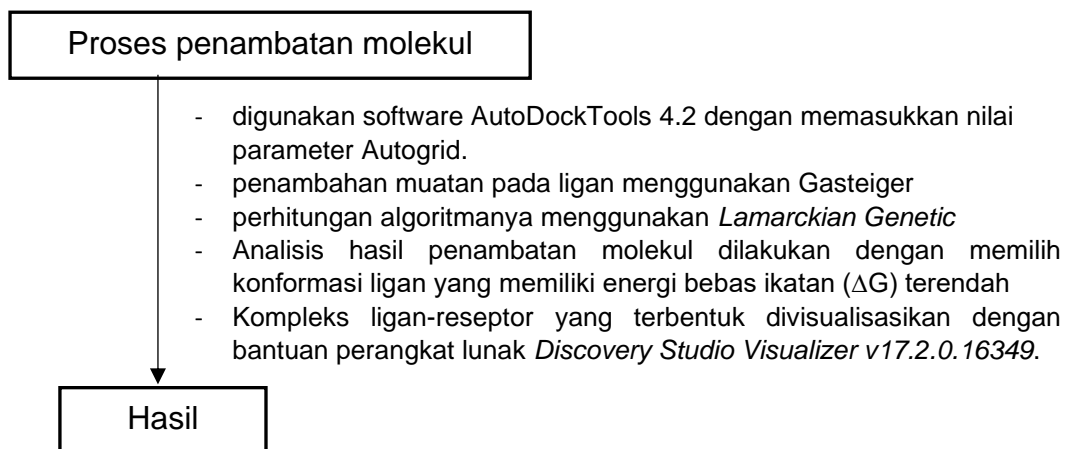
1. Preparasi Protein Target dan Ligan



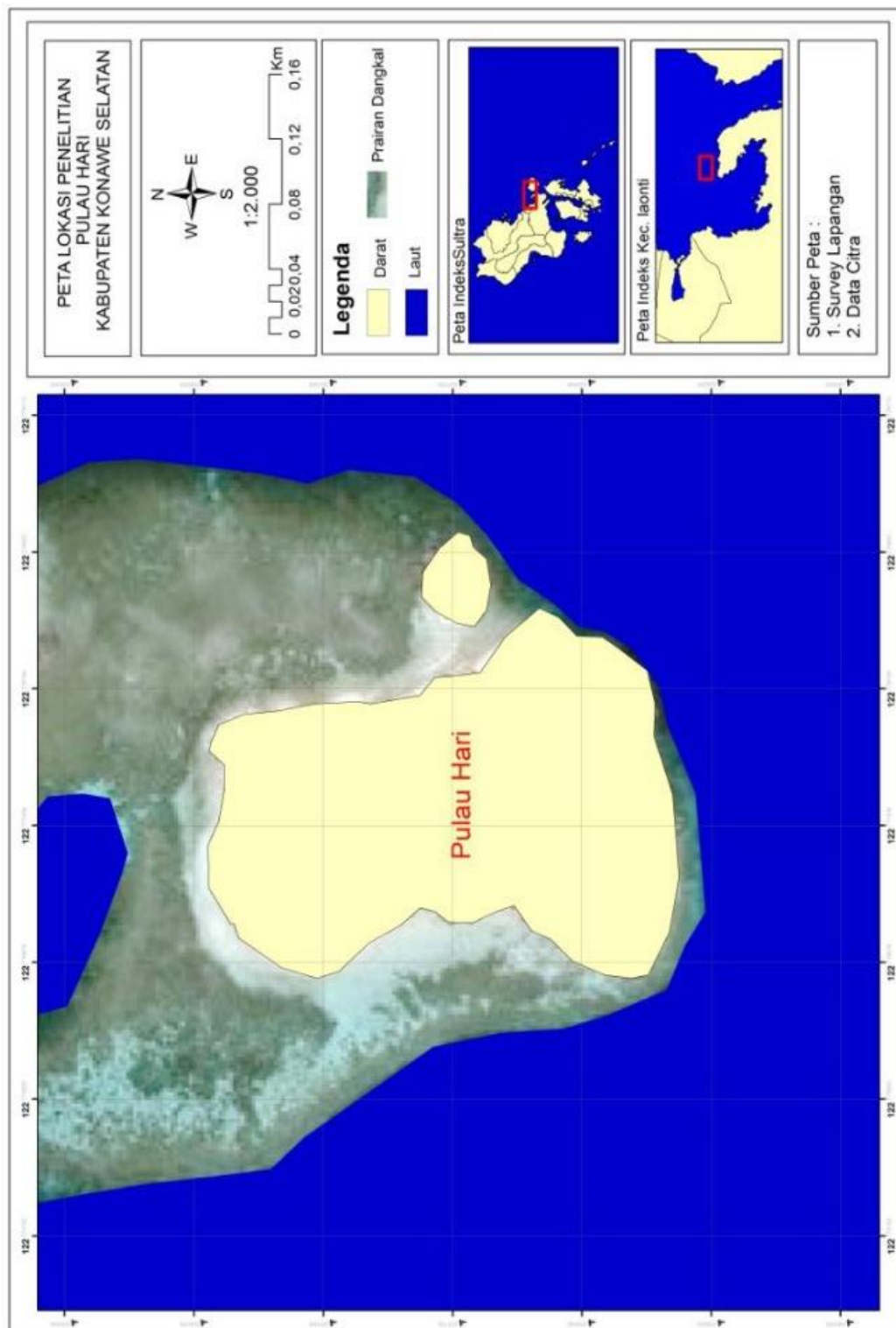
2. Validasi Metode Penambatan Molekul



3. Simulasi Penambatan Molekul



Lampiran 7. Peta Lokasi Pengambilan Sampel



Lampiran 8. Hasil Identifikasi Sampel BRIN



**DIREKTORAT PENGELOLAAN LABORATORIUM,
FASILITAS RISET, DAN KAWASAN SAINS TEKNOLOGI**
Gedung B.J. Habibie Jalan M.H. Thamrin Nomor 8,
Jakarta Pusat 10340
Telepon/WA: 0811 8612 392; E-mail: dit-plfrkst@brin.go.id
www.brin.go.id

No. ID ELSA : 30774
Transaction Number

Metode : Identifikasi secara morfologi
Method

Nama Laboratorium : Laboratorium Oseanografi - BRIN
Name of Laboratory

Alamat Laboratorium : Jl. Pasir Putih 1, Ancol Timur (Gedung Pusat Riset Oseanografi- BRIN)
Laboratory Address Jakarta - Indonesia 11048
Email : layanan@mail.lipi.go.id ; Telp +62 811-1391-617

Kondisi Pengukuran/Parameter Pengujian *Measurement Conditions/Testing Parameters:*
Identifikasi dengan menggunakan karakter morfologi

Hasil Pengujian *Testing Results* : *Gracilaria salicornia* (C.Agardh) E.Y.Dawson, 1954

<https://data.lipi.go.id/privateurl.xhtml?token=1421ae7c-6a12-400b-815f-c239c1a30460>

Catatan *Note:*

Daftar sampel yang dilakukan pengujian terdapat di lembar pengesahan.
Penamaan sampel sesuai dengan penamaan pada saat permohonan pengajuan layanan.

Terima kasih sudah melakukan pengujian/ penyewaan alat/ proses riset dengan fasilitas yang tersedia di Laboratorium Oseanografi. Jika dikemudian hari, hasil pengujian atau analisis ini akan dipublikasikan, mohon kiranya bisa menambahkan dalam Ucapan Terima Kasih atau Acknowledgement di dalam publikasi Anda,

seperti dalam contoh format berikut:

Dalam bahasa Indonesia : "Penelitian ini didukung oleh fasilitas riset, dan dukungan ilmiah serta teknis dari Laboratorium Oseanografi di Badan Riset dan Inovasi Nasional".

Dalam bahasa Inggris : "The authors acknowledge the facilities, and the scientific and technical assistance of the Oceanography Laboratories at the National Research and Innovation Agency

Lampiran 9. Perhitungan Uji Sitotoksik

Pada uji sitotoksik, transformasi nilai % kematian ke probit mengikuti tabel berikut:

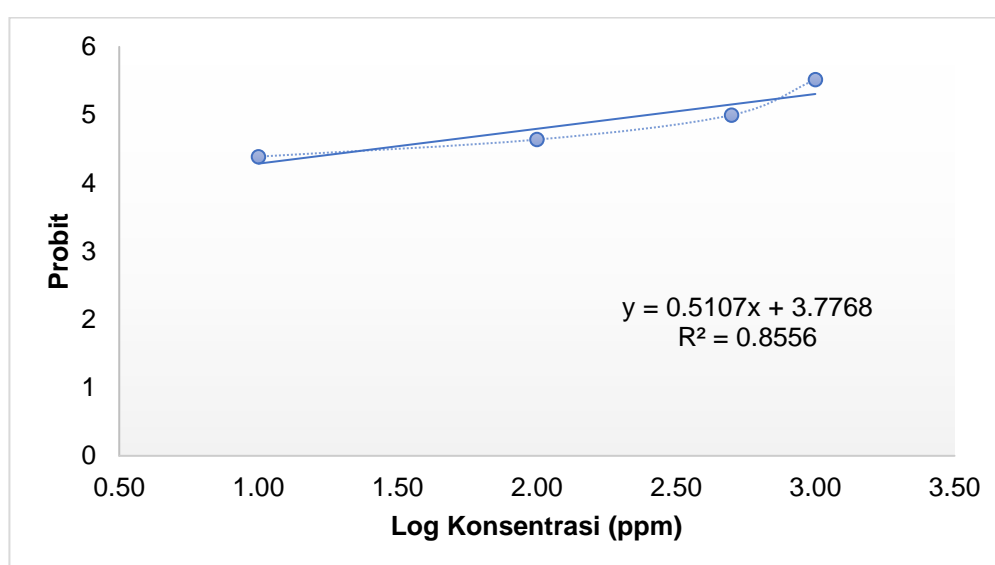
%	0	1	2	3	4	5	6	7	8	9
0	—	2.67	2.95	3.12	3.25	3.36	3.45	3.52	3.59	3.66
10	3.72	3.77	3.82	3.87	3.92	3.96	4.01	4.05	4.08	4.12
20	4.16	4.19	4.23	4.26	4.29	4.33	4.36	4.39	4.42	4.45
30	4.48	4.50	4.53	4.56	4.59	4.61	4.64	4.67	4.69	4.72
40	4.75	4.77	4.80	4.82	4.85	4.87	4.90	4.92	4.95	4.97
50	5.00	5.03	5.05	5.08	5.10	5.13	5.15	5.18	5.20	5.23
60	5.25	5.28	5.31	5.33	5.36	5.39	5.41	5.44	5.47	5.50
70	5.52	5.55	5.58	5.61	5.64	5.67	5.71	5.74	5.77	5.81
80	5.84	5.88	5.92	5.95	5.99	6.04	6.08	6.13	6.18	6.23
90	6.28	6.34	6.41	6.48	6.55	6.64	6.75	6.88	7.05	7.33
%	0.0	0.1	0.2	0.3	0.4	0.5	0.6	0.7	0.8	0.9
99	7.33	7.37	7.41	7.46	7.51	7.58	7.65	7.75	7.88	8.09

¹D. J. Finney, *Probit Analysis*, (Cambridge: Cambridge University Press, 1971), p. 25. Reprinted by permission.

a. Ekstrak n-Heksan

Konsentrasi (ppm)	Total Larva	U1	U2	U3	Kematian	% Kematian	Log Kons	Probit
1000	10	6	8	7	7.00	70%	3.00	5.52
500	10	5	4	6	5.00	50%	2.70	5
100	10	4	3	4	3.67	37%	2.00	4.64
10	10	3	3	2	2.67	27%	1.00	4.39

U = ulangan



Substitusi 5 sebagai y pada persamaan regresi linear untuk menentukan nilai log konsentrasi (x):

$$5 = 0.5107x + 3.7768$$

$$x = 2.40$$

Mengubah nilai log konsentrasi menjadi konsentrasi sebenarnya (antilog):

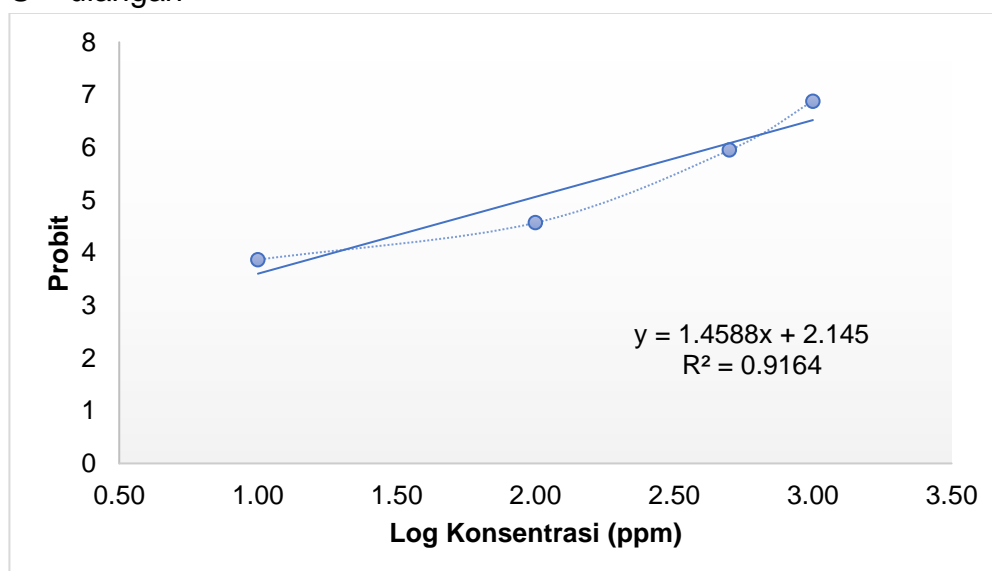
$$LC_{50} \text{ (ppm)} = \mathbf{284.40}$$

Nilai aktivitas toksisitas akut adalah 284.4 ppm.

b. Ekstrak Etil asetat

Konsentrasi (ppm)	Total Larva	U1	U2	U3	Kematian	% Kematian	Log Kons	Probit
1000	10	10	9	10	9.67	97%	3.00	6.88
500	10	7	9	9	8.33	83%	2.70	5.95
100	10	3	3	4	3.33	33%	2.00	4.57
10	10	0	2	2	1.33	13%	1.00	3.87

U = ulangan



Substitusi 5 sebagai y pada persamaan regresi linear untuk menentukan nilai log konsentrasi (x):

$$5 = 1.4588x + 2.145$$

$$x = 1.96$$

Mengubah nilai log konsentrasi menjadi konsentrasi sebenarnya (antilog):

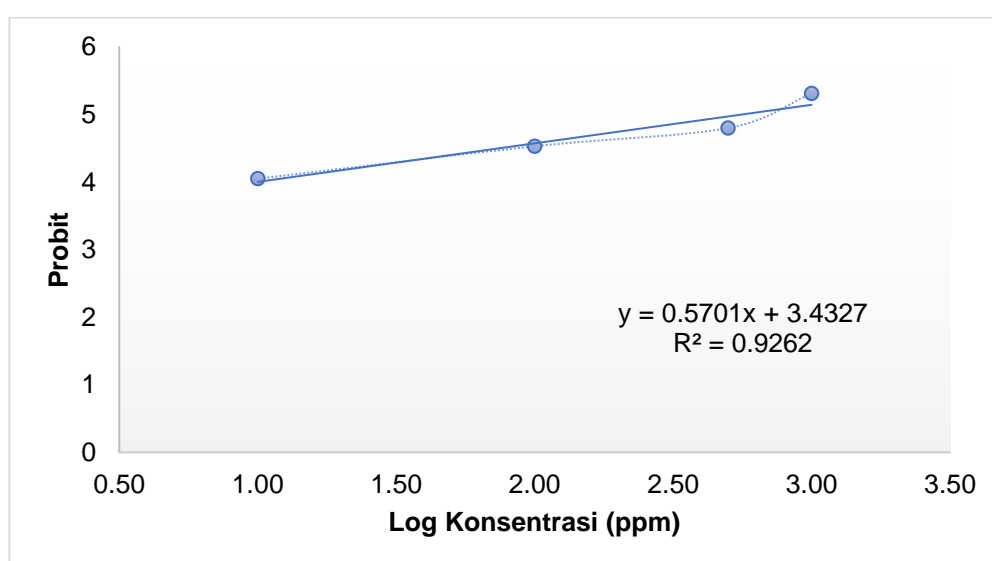
$$LC_{50} \text{ (ppm)} = \mathbf{90.59}$$

Nilai aktivitas toksisitas akut adalah 90.59 ppm.

c. Ekstrak Metanol

Konsentrasi (ppm)	Total Larva	U1	U2	U3	Kematian	% Kematian	Log Kons	Probit
1000	10	5	6	8	6.33	63%	3.00	5.31
500	10	5	3	5	4.33	43%	2.70	4.8
100	10	3	3	4	3.33	33%	2.00	4.53
10	10	2	2	1	1.67	17%	1.00	4.05

U = ulangan



Substitusi 5 sebagai y pada persamaan regresi linear untuk menentukan nilai log konsentrasi (x):

$$5 = 0.5701x + 3.4327$$

$$x = 2.75$$

Mengubah nilai log konsentrasi menjadi konsentrasi sebenarnya (antilog):

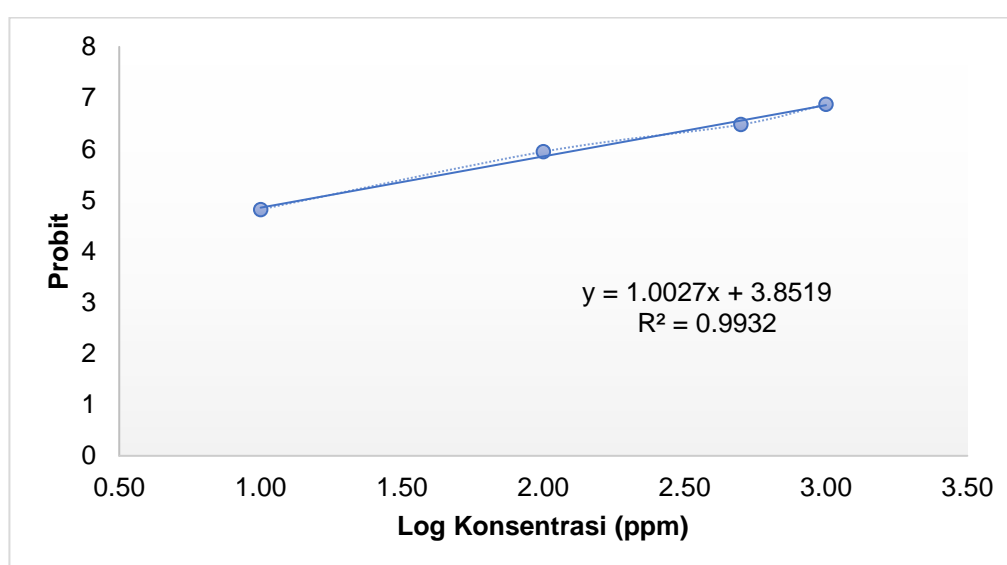
$$LC_{50} \text{ (ppm)} = \mathbf{561.26}$$

Nilai aktivitas toksisitas akut adalah 561.26 ppm.

d. Kontrol Positif (Kalium Dikromat)

Konsentrasi (ppm)	Total Larva	U1	U2	U3	Kematian	% Kematian	Log Kons	Probit
1000	10	10	9	10	9.67	97%	3.00	6.88
500	10	10	9	9	9.33	93%	2.70	6.48
100	10	8	9	8	8.33	83%	2.00	5.95
10	10	5	4	4	4.33	43%	1.00	4.82

U = ulangan



Substitusi 5 sebagai y pada persamaan regresi linear untuk menentukan nilai log konsentrasi (x):

$$5 = 1.0027x + 3.8519$$

$$x = 1.15$$

Mengubah nilai log konsentrasi menjadi konsentrasi sebenarnya (antilog):

$$LC_{50} \text{ (ppm)} = \mathbf{13.96}$$

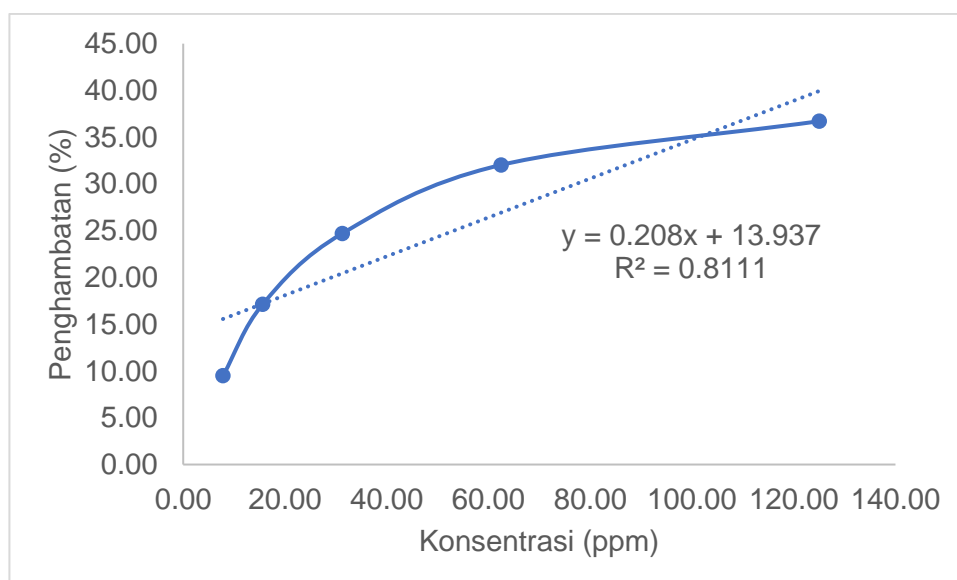
Nilai aktivitas toksisitas akut adalah 13.96 ppm.

Lampiran 10. Uji Antiinflamasi

a. Ekstrak n-Heksan

Absorbansi Kontrol : 1.0334

Konsentrasi (ppm)	Absorbansi	% Penghambatan
7.81	0.9354	9.49
15.63	0.8564	17.13
31.25	0.7782	24.70
62.50	0.7024	32.03
125.00	0.6541	36.71



Substitusi 50 sebagai y pada persamaan regresi linear untuk menentukan nilai konsentrasi (x):

$$50 = 0.208x + 13.937$$

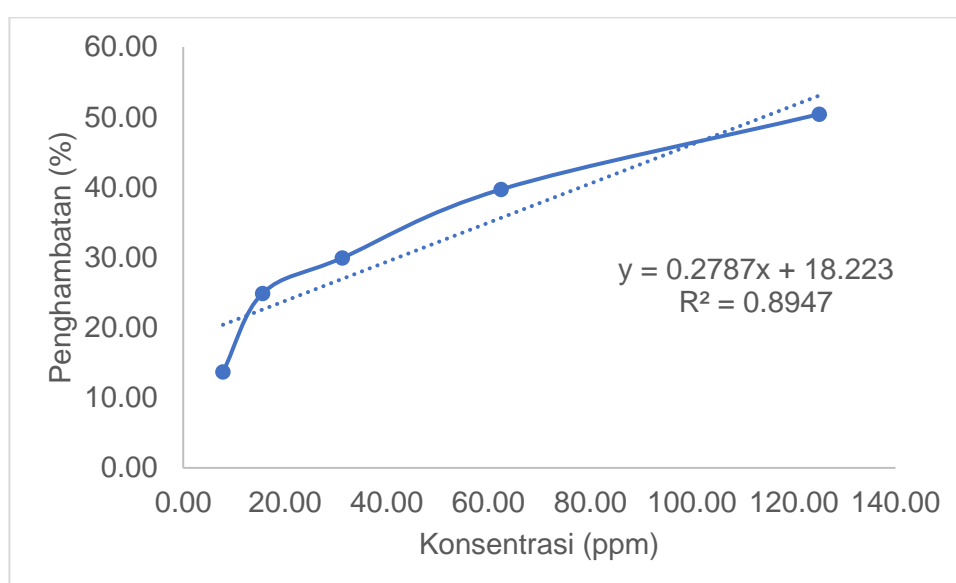
$$x (IC_{50}) = 173.38$$

Nilai aktivitas antiinflamasi adalah 173.38 ppm.

b. Ekstrak Etil asetat

Absorbansi Kontrol : 1.0334

Konsentrasi (ppm)	Absorbansi	% Penghambatan
7.81	0.8921	13.68
15.63	0.7762	24.89
31.25	0.7241	29.93
62.50	0.6231	39.71
125.00	0.5124	50.42



Substitusi 50 sebagai y pada persamaan regresi linear untuk menentukan nilai konsentrasi (x):

$$50 = 0.2787x + 18.223$$

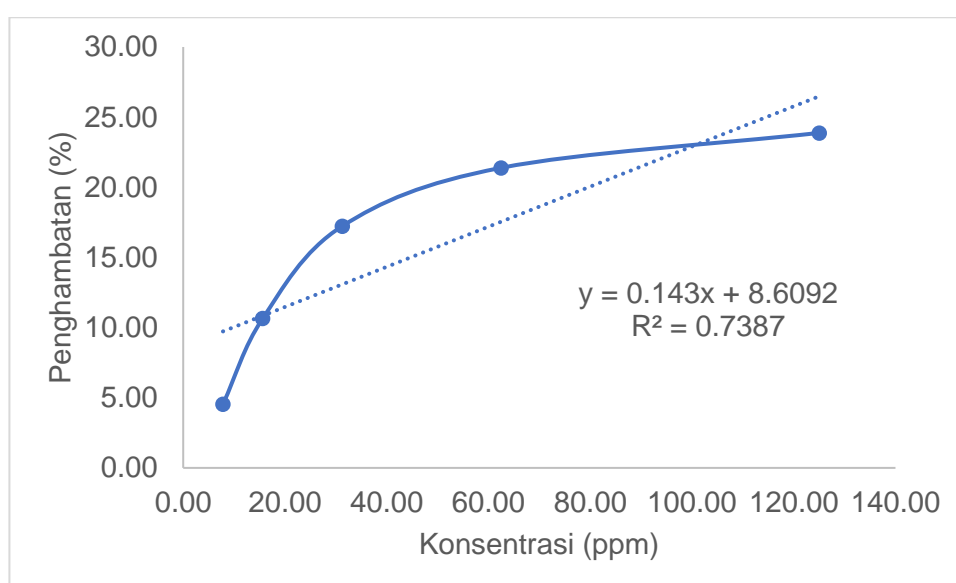
$$x (IC_{50}) = 114.02$$

Nilai aktivitas antiinflamasi adalah 114.02 ppm.

c. Ekstrak Metanol

Absorbansi Kontrol : 1.0334

Konsentrasi (ppm)	Absorbansi	% Penghambatan
7.81	0.9865	4.54
15.63	0.9234	10.65
31.25	0.8554	17.23
62.50	0.8124	21.39
125.00	0.7867	23.88



Substitusi 50 sebagai y pada persamaan regresi linear untuk menentukan nilai konsentrasi (x):

$$50 = 0.143x + 8.6092$$

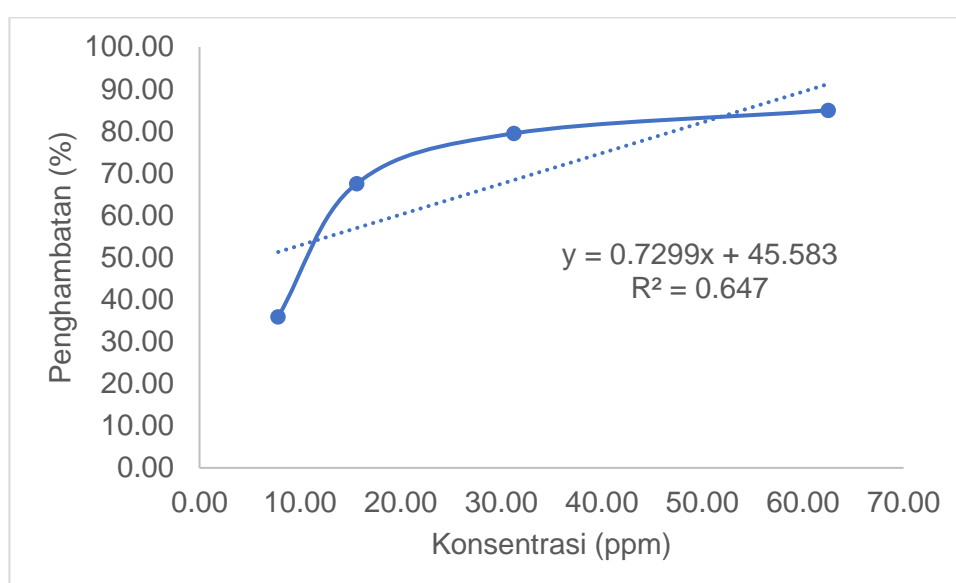
$$x (IC_{50}) = 289.45$$

Nilai aktivitas antiinflamasi adalah 289.45 ppm.

d. Kontrol Positif (Natrium Diklofenak)

Absorbansi Kontrol : 1.0334

Konsentrasi (ppm)	Absorbansi	% Penghambatan
7.81	0.6624	35.90
15.63	0.3354	67.55
31.25	0.2121	79.48
62.50	0.1556	84.94
125.00	0.0552	94.66



Substitusi 50 sebagai y pada persamaan regresi linear untuk menentukan nilai konsentrasi (x):

$$50 = 0.7299x + 45.583$$

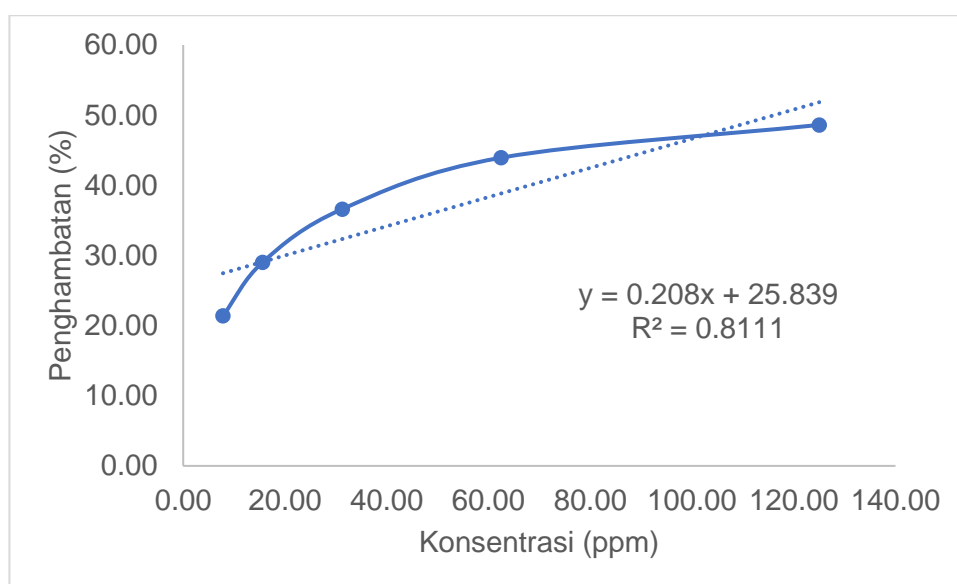
$$x (IC_{50}) = 11.78$$

Nilai aktivitas antiinflamasi adalah 11.78 ppm.

e. Senyawa 1

Absorbansi Kontrol : 1.0334

Konsentrasi (ppm)	Absorbansi	% Penghambatan
7.81	0.8124	21.39
15.63	0.7334	29.03
31.25	0.6552	36.60
62.50	0.5794	43.93
125.00	0.5311	48.61



Substitusi 50 sebagai y pada persamaan regresi linear untuk menentukan nilai konsentrasi (x):

$$50 = 0.208x + 25.839$$

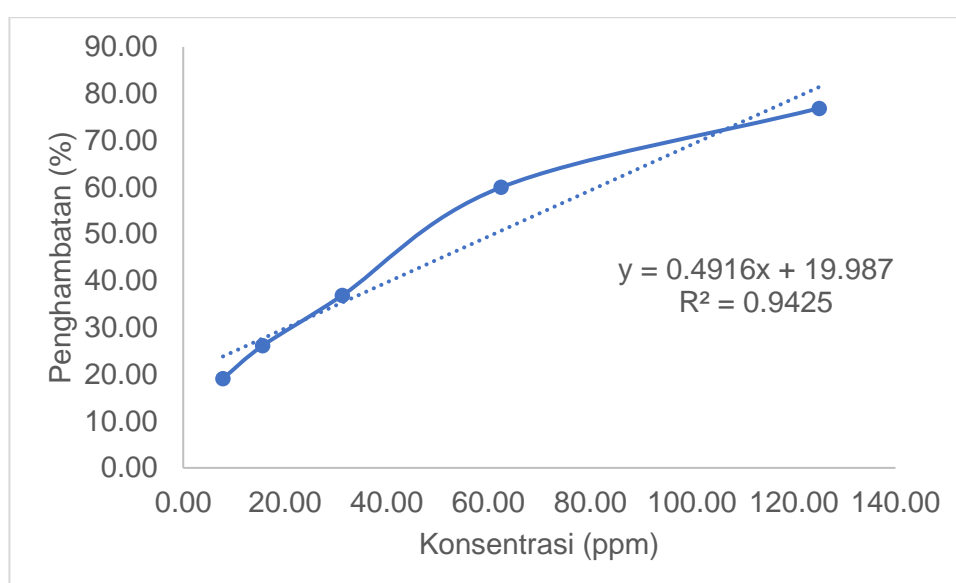
$$x (IC_{50}) = 116.16$$

Nilai aktivitas antiinflamasi adalah 116.16 ppm.

f. Senyawa 2

Absorbansi Kontrol : 1.0334

Konsentrasi (ppm)	Absorbansi	% Penghambatan
7.81	0.8361	19.09
15.63	0.7634	26.13
31.25	0.6524	36.87
62.50	0.4134	60.00
125.00	0.2387	76.90



Substitusi 50 sebagai y pada persamaan regresi linear untuk menentukan nilai konsentrasi (x):

$$50 = 0.4916x + 19.987$$

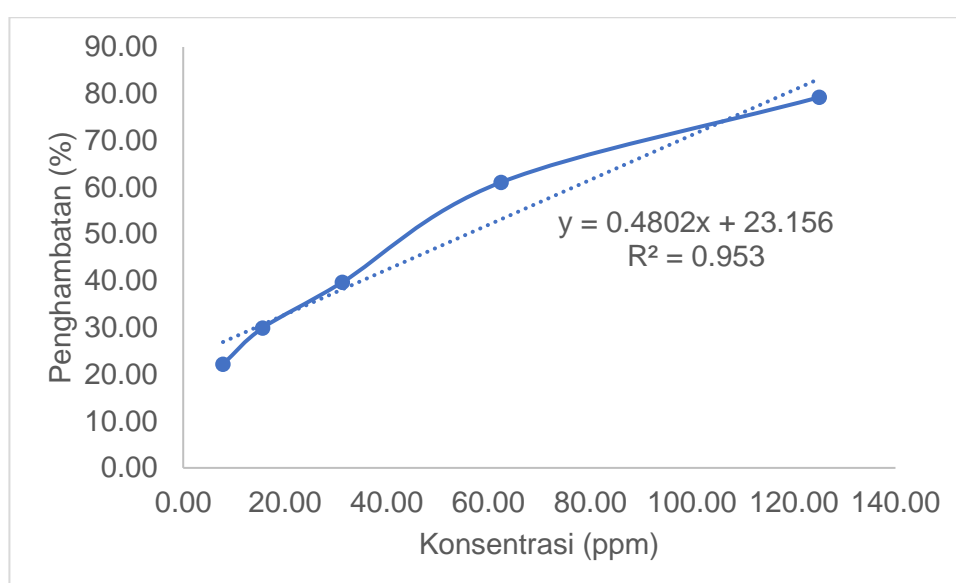
$$x (IC_{50}) = 61.052$$

Nilai aktivitas antiinflamasi adalah 61.052 ppm.

g. Senyawa 3

Absorbansi Kontrol : 1.0334

Konsentrasi (ppm)	Absorbansi	% Penghambatan
7.81	0.8043	22.17
15.63	0.7242	29.92
31.25	0.6234	39.68
62.50	0.4023	61.07
125.00	0.2145	79.24



Substitusi 50 sebagai y pada persamaan regresi linear untuk menentukan nilai konsentrasi (x):

$$50 = 0.4802x + 23.156$$

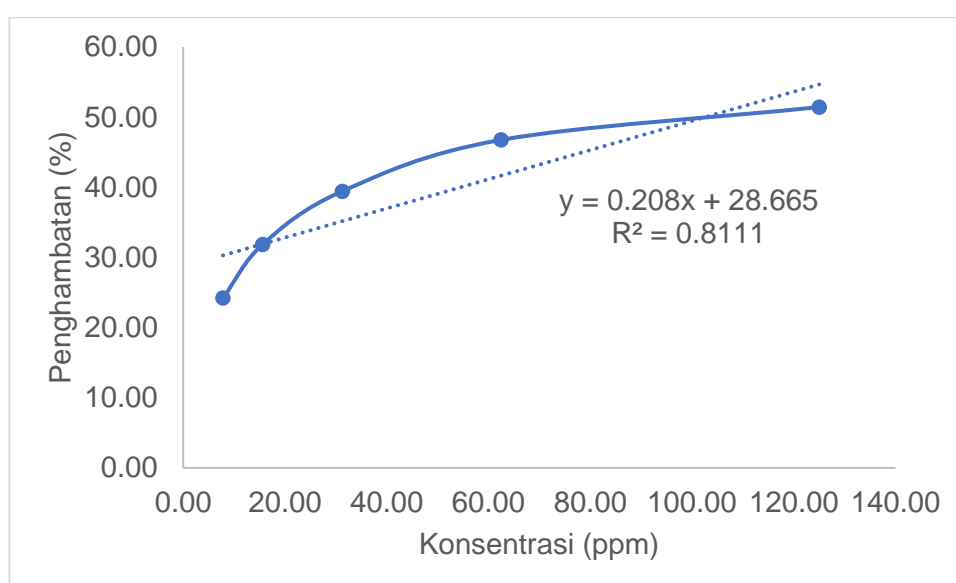
$$x (IC_{50}) = 55.902$$

Nilai aktivitas antiinflamasi adalah 55.902 ppm.

h. Senyawa 4

Absorbansi Kontrol : 1.0334

Konsentrasi (ppm)	Absorbansi	% Penghambatan
7.81	0.7832	24.21
15.63	0.7042	31.86
31.25	0.6260	39.43
62.50	0.5502	46.76
125.00	0.5019	51.43



Substitusi 50 sebagai y pada persamaan regresi linear untuk menentukan nilai konsentrasi (x):

$$50 = 0.208x + 28.665$$

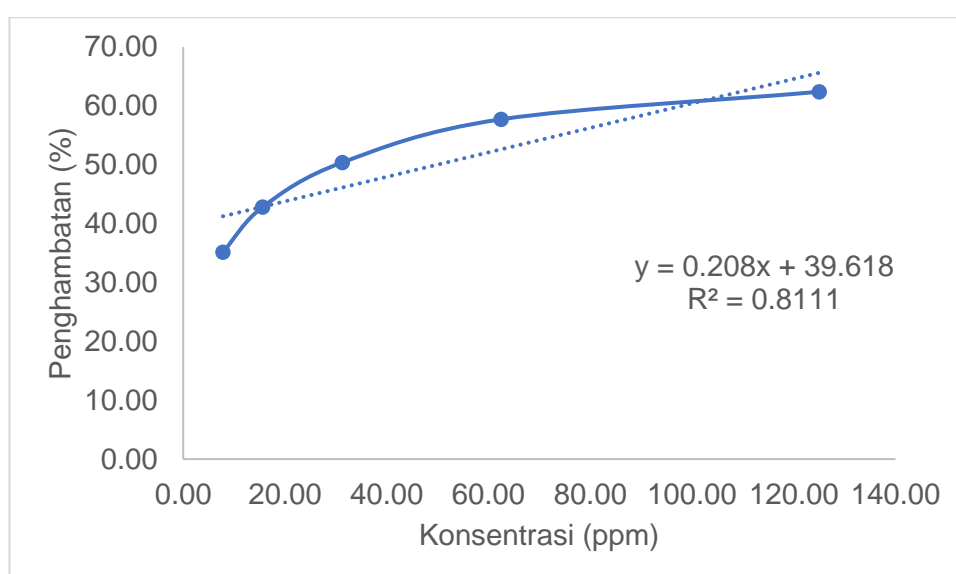
$$x (IC_{50}) = 102.57$$

Nilai aktivitas antiinflamasi adalah 102.57 ppm.

i. Senyawa 5

Absorbansi Kontrol : 1.0334

Konsentrasi (ppm)	Absorbansi	% Penghambatan
7.81	0.6700	35.17
15.63	0.5910	42.81
31.25	0.5128	50.38
62.50	0.4370	57.71
125.00	0.3887	62.39



Substitusi 50 sebagai y pada persamaan regresi linear untuk menentukan nilai konsentrasi (x):

$$50 = 0.208x + 39.618$$

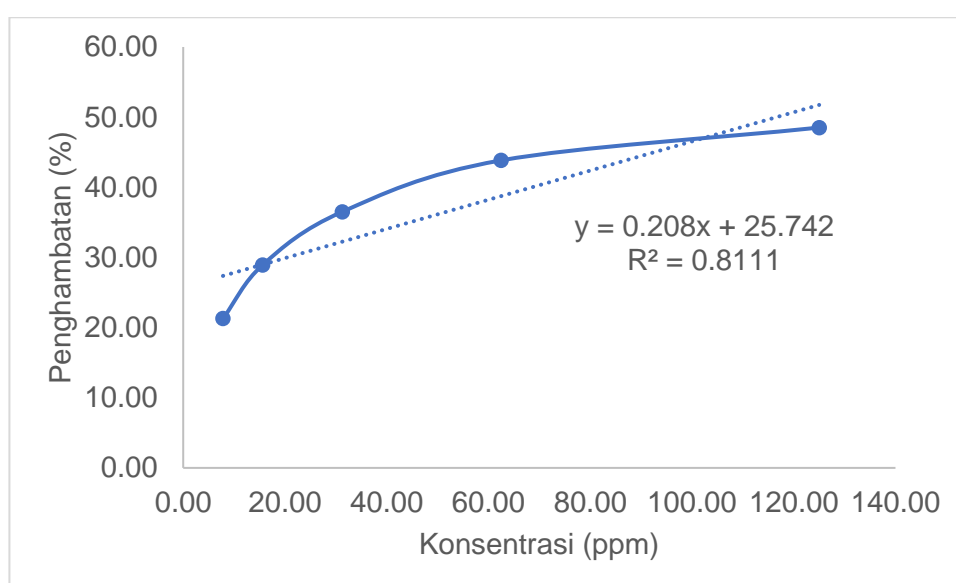
$$x (IC_{50}) = 49.913$$

Nilai aktivitas antiinflamasi adalah 49.913 ppm.

j. Senyawa 6

Absorbansi Kontrol : 1.0334

Konsentrasi (ppm)	Absorbansi	% Penghambatan
7.81	0.8134	21.29
15.63	0.7344	28.94
31.25	0.6562	36.50
62.50	0.5804	43.84
125.00	0.5321	48.51



Substitusi 50 sebagai y pada persamaan regresi linear untuk menentukan nilai konsentrasi (x):

$$50 = 0.208x + 25.742$$

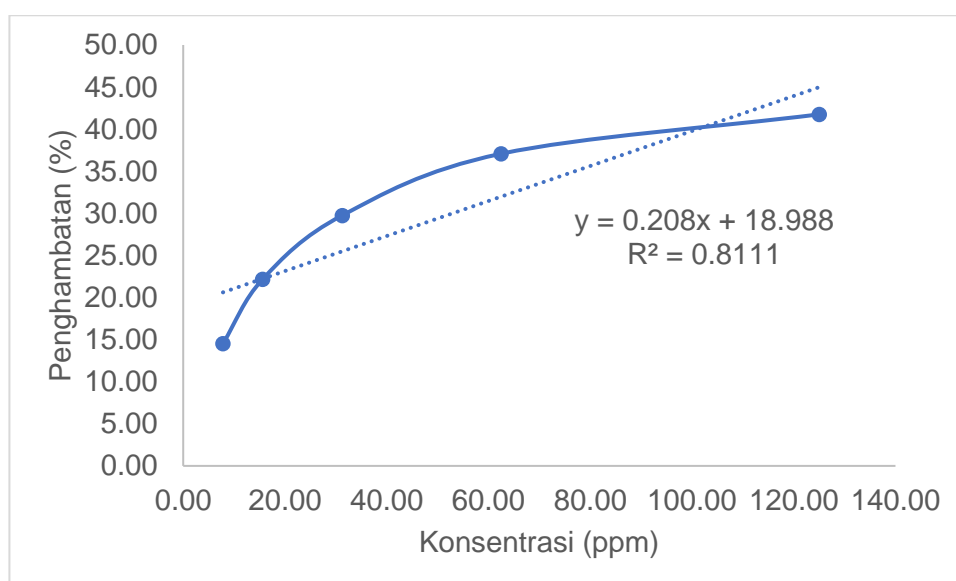
$$x (IC_{50}) = 116.63$$

Nilai aktivitas antiinflamasi adalah 116.63 ppm.

k. Senyawa 7

Absorbansi Kontrol : 1.0334

Konsentrasi (ppm)	Absorbansi	% Penghambatan
7.81	0.8832	14.54
15.63	0.8042	22.18
31.25	0.7260	29.75
62.50	0.6502	37.08
125.00	0.6019	41.76



Substitusi 50 sebagai y pada persamaan regresi linear untuk menentukan nilai konsentrasi (x):

$$50 = 0.208x + 18.988$$

$$x (IC_{50}) = 149.1$$

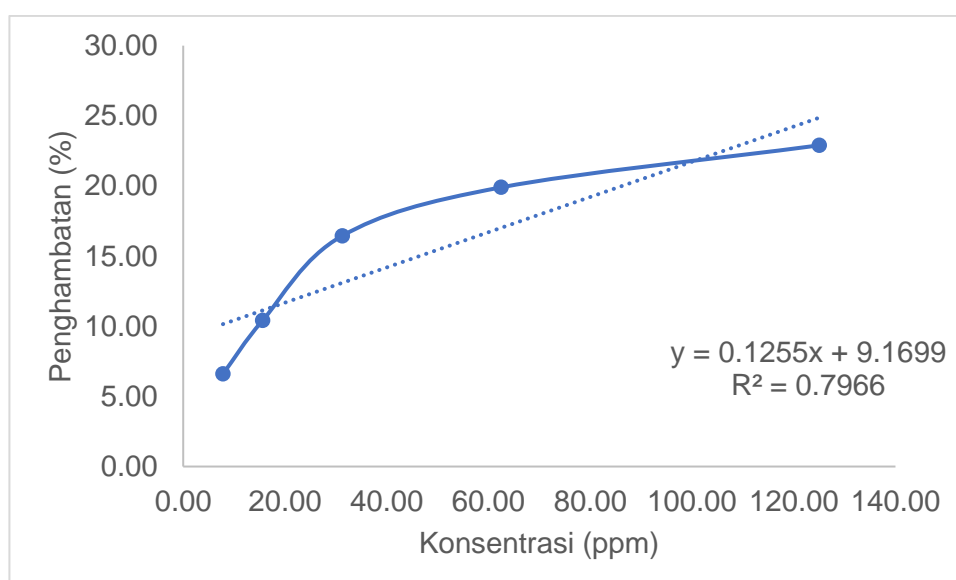
Nilai aktivitas antiinflamasi adalah 149.1 ppm.

Lampiran 11. Uji Antikanker

a. Ekstrak n-Heksan

Absorbansi Kontrol : 0.6051

Konsentrasi (ppm)	Absorbansi	% Penghambatan
7.81	0.5652	6.60
15.63	0.5421	10.42
31.25	0.5056	16.44
62.50	0.4847	19.90
125.00	0.4666	22.89



Substitusi 50 sebagai y pada persamaan regresi linear untuk menentukan nilai konsentrasi (x):

$$50 = 0.1255x + 9.1699$$

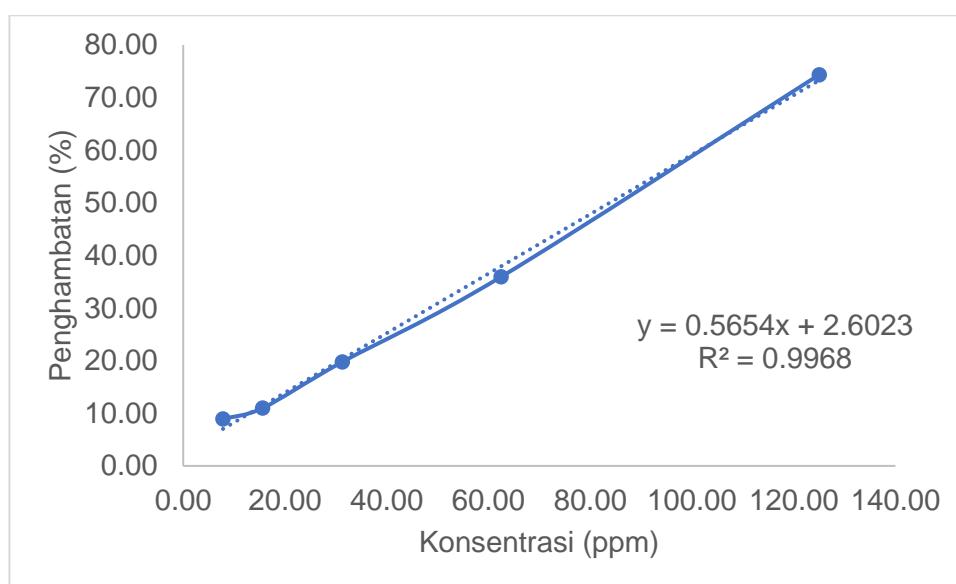
$$x (IC_{50}) = 325.3$$

Nilai aktivitas antikanker adalah 325.3 ppm.

b. Ekstrak Etil asetat

Absorbansi Kontrol : 0.6051

Konsentrasi (ppm)	Absorbansi	% Penghambatan
7.81	0.5512	8.91
15.63	0.5386	11.00
31.25	0.4856	19.75
62.50	0.3876	35.94
125.00	0.1552	74.35



Substitusi 50 sebagai y pada persamaan regresi linear untuk menentukan nilai konsentrasi (x):

$$50 = 0.5654x + 2.6023$$

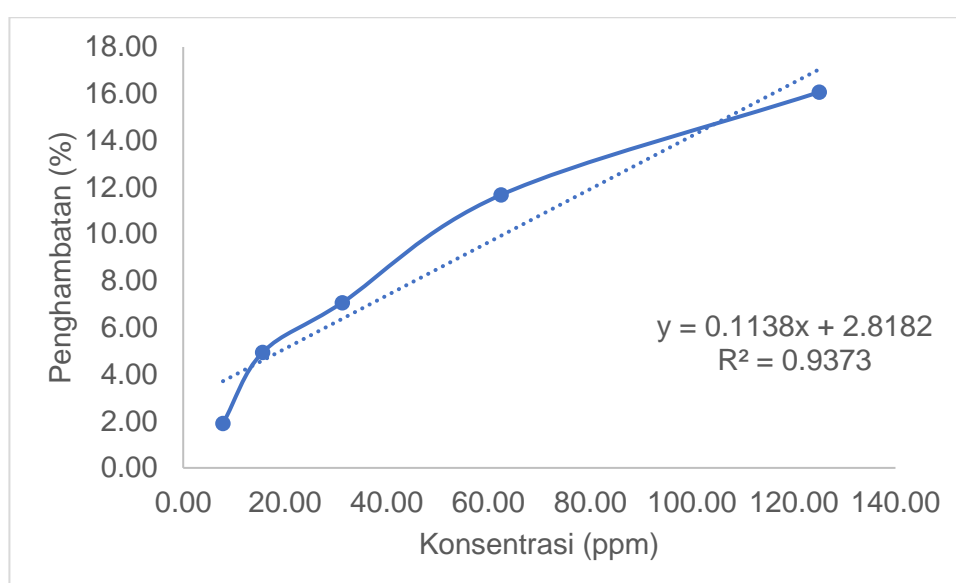
$$x (IC_{50}) = 83.83$$

Nilai aktivitas antikanker adalah 83.83 ppm.

c. Ekstrak Metanol

Absorbansi Kontrol : 0.6051

Konsentrasi (ppm)	Absorbansi	% Penghambatan
7.81	0.5936	1.90
15.63	0.5752	4.94
31.25	0.5624	7.07
62.50	0.5345	11.68
125.00	0.5079	16.07



Substitusi 50 sebagai y pada persamaan regresi linear untuk menentukan nilai konsentrasi (x):

$$50 = 0.1138x + 2.8182$$

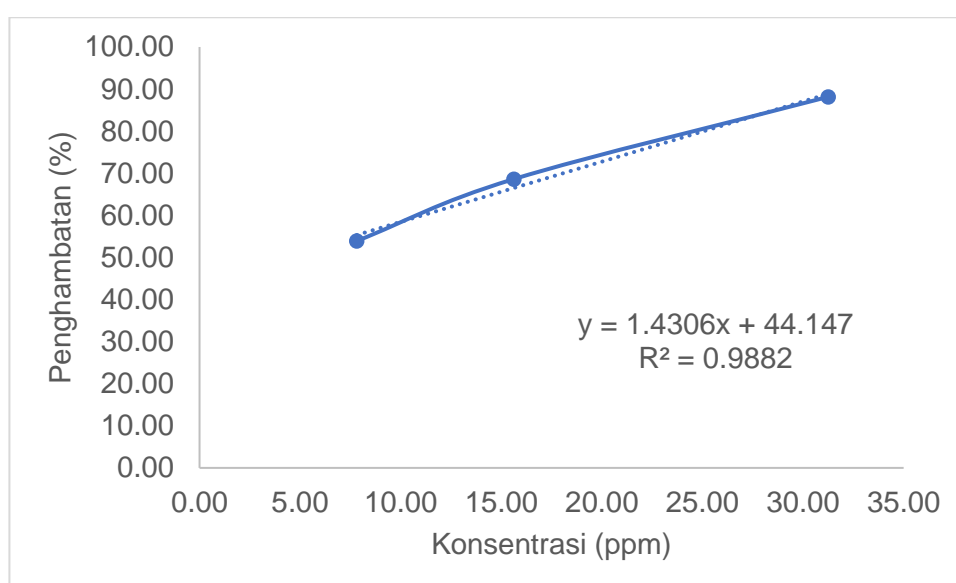
$$x (IC_{50}) = 414.6$$

Nilai aktivitas antikanker adalah 414.6 ppm.

d. Kontrol Positif (Doxorubicin)

Absorbansi Kontrol : 0.6051

Konsentrasi (ppm)	Absorbansi	% Penghambatan
7.81	0.2789	53.91
15.63	0.1899	68.62
31.25	0.0717	88.15
62.50	0.0011	99.81
125.00	0.0008	99.87



Substitusi 50 sebagai y pada persamaan regresi linear untuk menentukan nilai konsentrasi (x):

$$50 = 1.4306x + 44.147$$

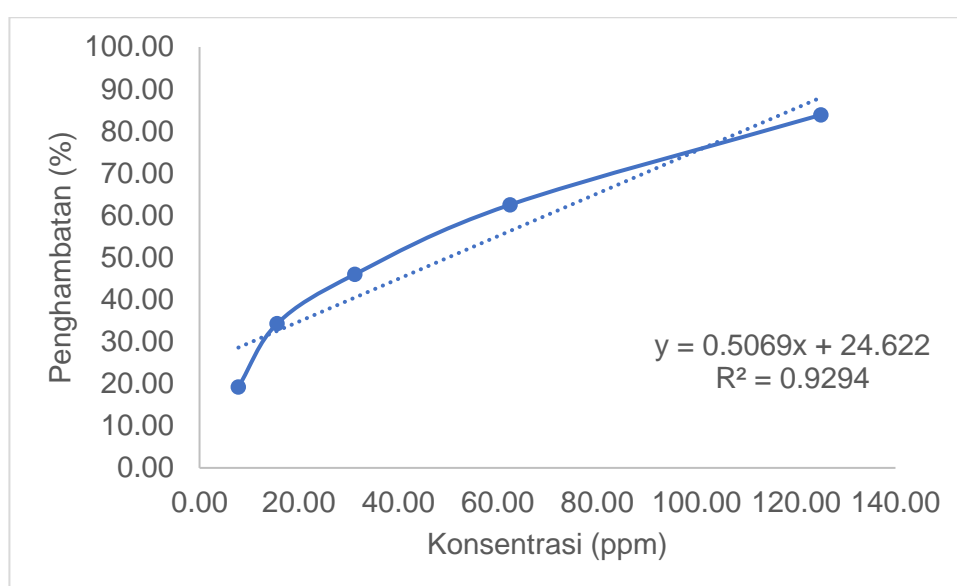
$$x (IC_{50}) = 4.091$$

Nilai aktivitas antikanker adalah 4.091 ppm.

e. Senyawa 1

Absorbansi Kontrol : 0.6051

Konsentrasi (ppm)	Absorbansi	% Penghambatan
7.81	0.4889	19.21
15.63	0.3977	34.28
31.25	0.3268	46.00
62.50	0.2268	62.53
125.00	0.0977	83.86



Substitusi 50 sebagai y pada persamaan regresi linear untuk menentukan nilai konsentrasi (x):

$$50 = 0.5069x + 24.622$$

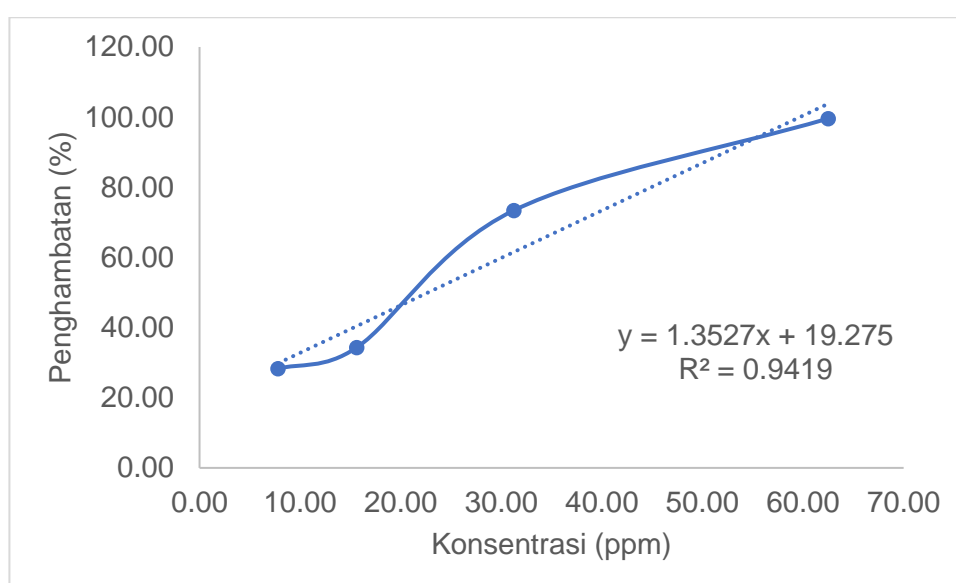
$$x (IC_{50}) = 50.0651$$

Nilai aktivitas antikanker adalah 50.0651 ppm.

f. Senyawa 2

Absorbansi Kontrol : 0.6051

Konsentrasi (ppm)	Absorbansi	% Penghambatan
7.81	0.4340	28.29
15.63	0.3975	34.32
31.25	0.1609	73.41
62.50	0.0024	99.60
125.00	-0.0023	100.39



Substitusi 50 sebagai y pada persamaan regresi linear untuk menentukan nilai konsentrasi (x):

$$50 = 1.3527x + 19.275$$

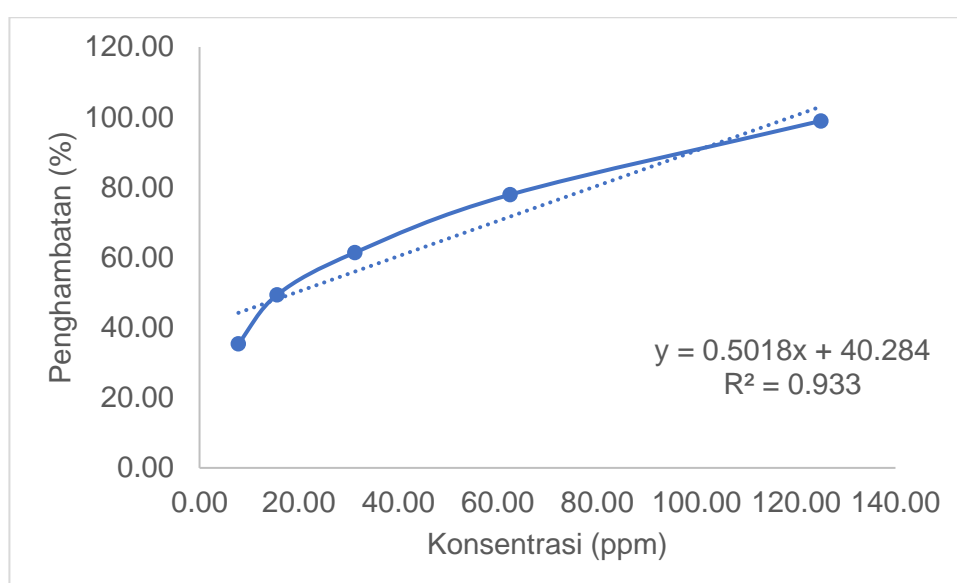
$$x (IC_{50}) = 22.7$$

Nilai aktivitas antikanker adalah 22.7 ppm.

g. Senyawa 3

Absorbansi Kontrol : 0.6051

Konsentrasi (ppm)	Absorbansi	% Penghambatan
7.81	0.3910	35.39
15.63	0.3065	49.35
31.25	0.2337	61.38
62.50	0.1337	77.91
125.00	0.0065	98.93



Substitusi 50 sebagai y pada persamaan regresi linear untuk menentukan nilai konsentrasi (x):

$$50 = 0.5018x + 40.284$$

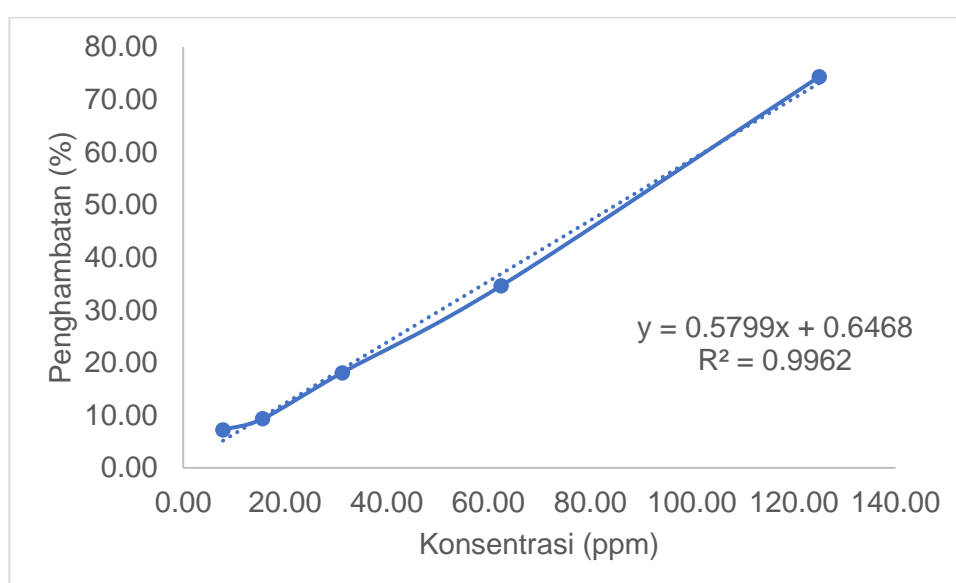
$$x (IC_{50}) = 19.4$$

Nilai aktivitas antikanker adalah 19.4 ppm.

h. Senyawa 4

Absorbansi Kontrol : 0.6051

Konsentrasi (ppm)	Absorbansi	% Penghambatan
7.81	0.5612	7.26
15.63	0.5486	9.35
31.25	0.4956	18.10
62.50	0.3956	34.62
125.00	0.1552	74.35



Substitusi 50 sebagai y pada persamaan regresi linear untuk menentukan nilai konsentrasi (x):

$$50 = 0.5799x + 0.6468$$

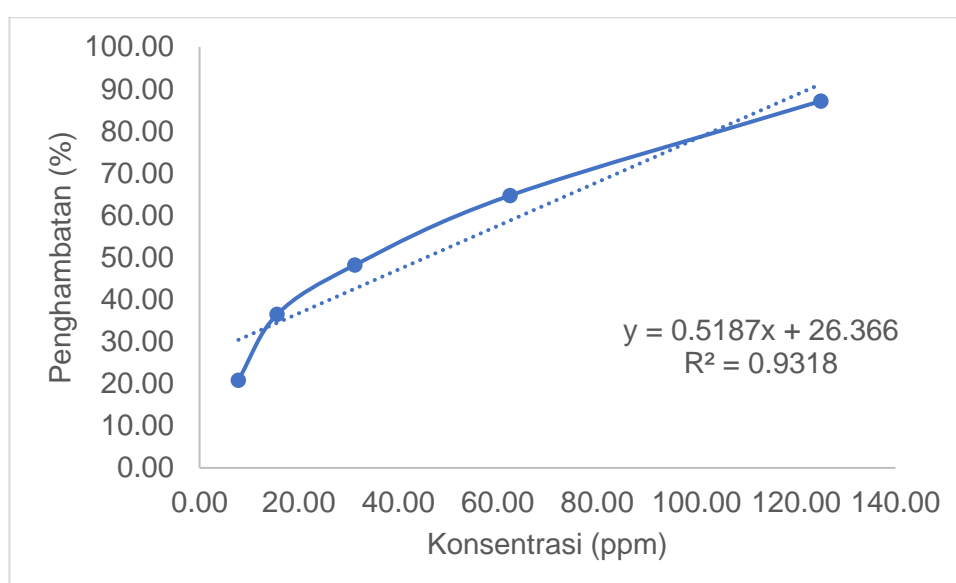
$$x (IC_{50}) = 85.106$$

Nilai aktivitas antikanker adalah 85.106 ppm.

i. Senyawa 5

Absorbansi Kontrol : 0.6051

Konsentrasi (ppm)	Absorbansi	% Penghambatan
7.81	0.4789	20.86
15.63	0.3843	36.49
31.25	0.3134	48.20
62.50	0.2134	64.73
125.00	0.0777	87.17



Substitusi 50 sebagai y pada persamaan regresi linear untuk menentukan nilai konsentrasi (x):

$$50 = 0.5187x + 26.366$$

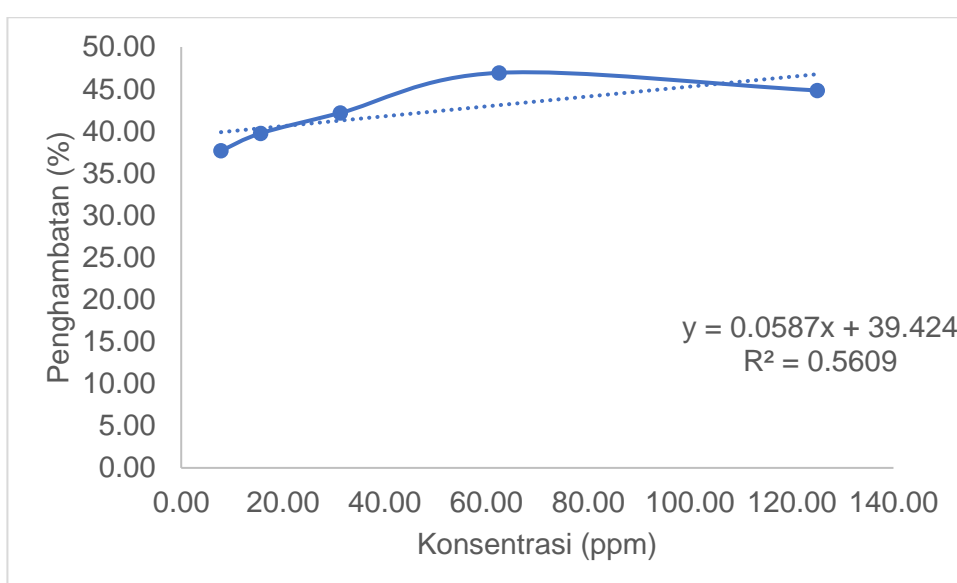
$$x (IC_{50}) = 45.56$$

Nilai aktivitas antikanker adalah 45.56 ppm.

j. Senyawa 6

Absorbansi Kontrol : 0.6051

Konsentrasi (ppm)	Absorbansi	% Penghambatan
7.81	0.3772	37.67
15.63	0.3646	39.74
31.25	0.3500	42.16
62.50	0.3211	46.93
125.00	0.3338	44.83



Substitusi 50 sebagai y pada persamaan regresi linear untuk menentukan nilai konsentrasi (x):

$$50 = 0.0587x + 39.424$$

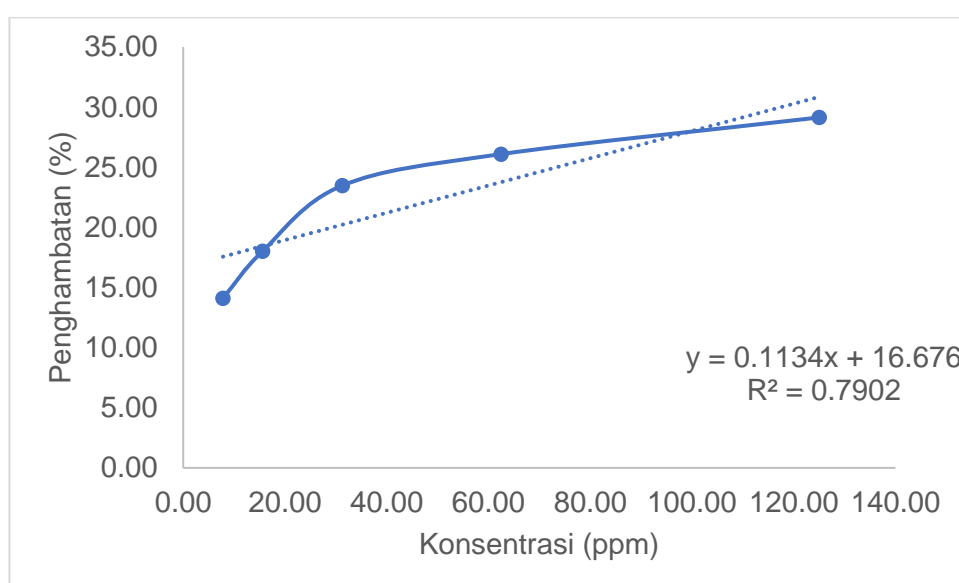
$$x (IC_{50}) = 180.17$$

Nilai aktivitas antikanker adalah 180.17 ppm.

k. Senyawa 7

Absorbansi Kontrol : 0.6051

Konsentrasi (ppm)	Absorbansi	% Penghambatan
7.81	0.5197	14.11
15.63	0.4961	18.02
31.25	0.4631	23.47
62.50	0.4472	26.09
125.00	0.4288	29.14



Substitusi 50 sebagai y pada persamaan regresi linear untuk menentukan nilai konsentrasi (x):

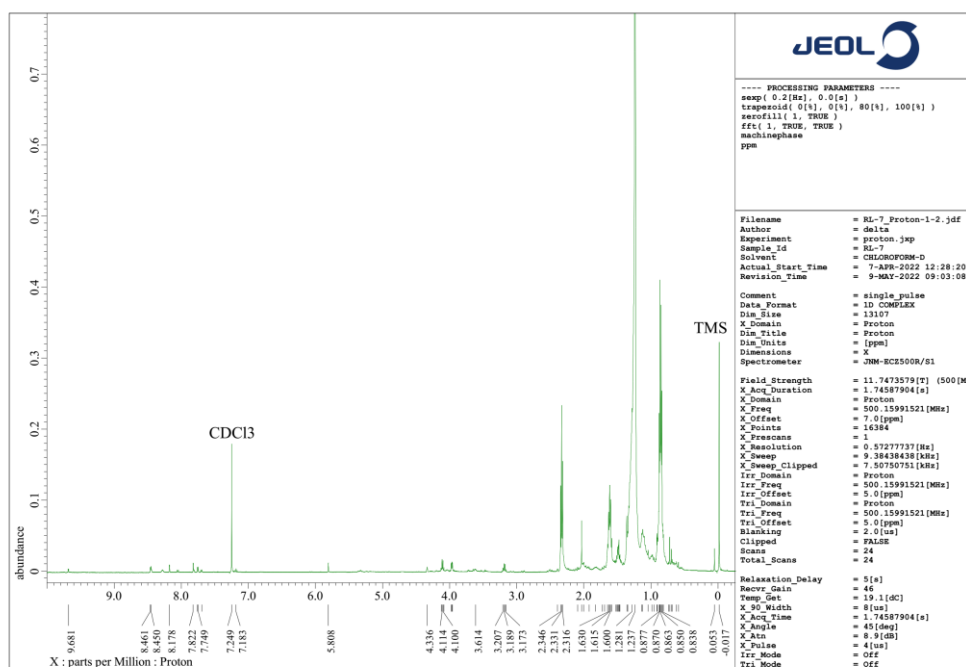
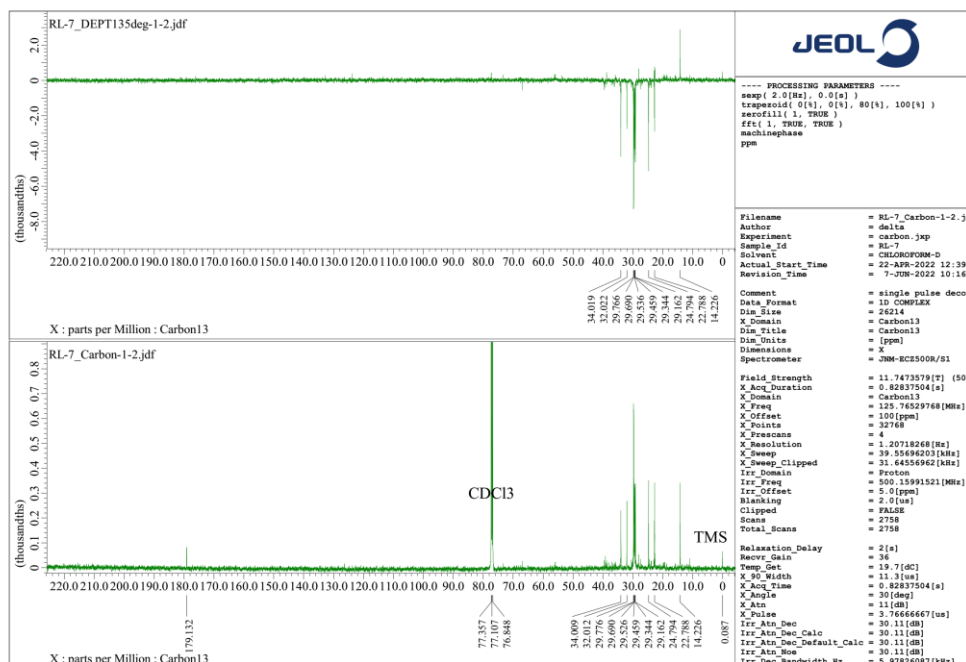
$$50 = 0.1134x + 16.676$$

$$x (IC_{50}) = 293.86$$

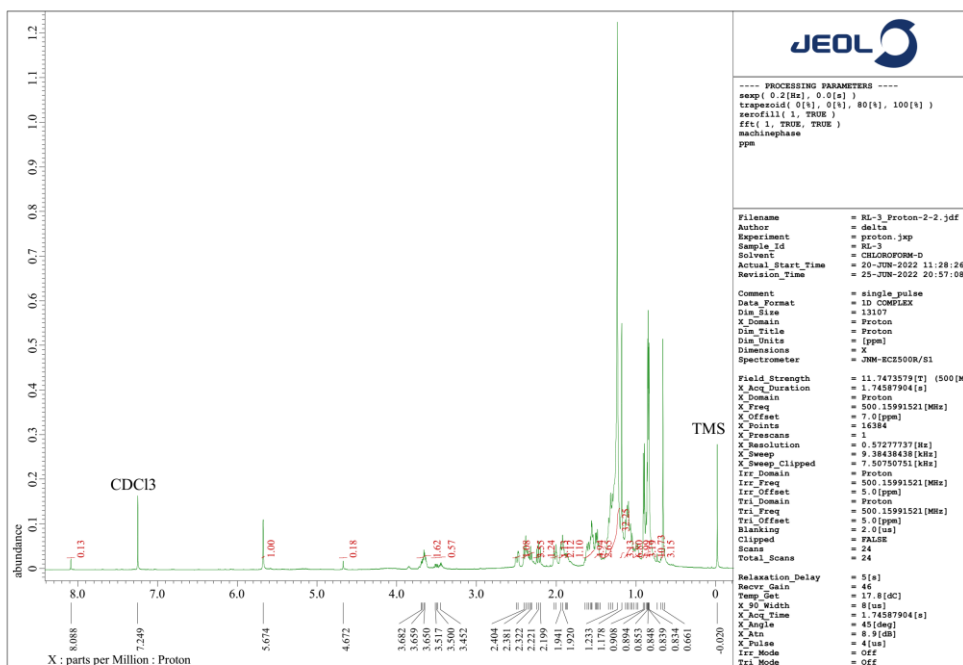
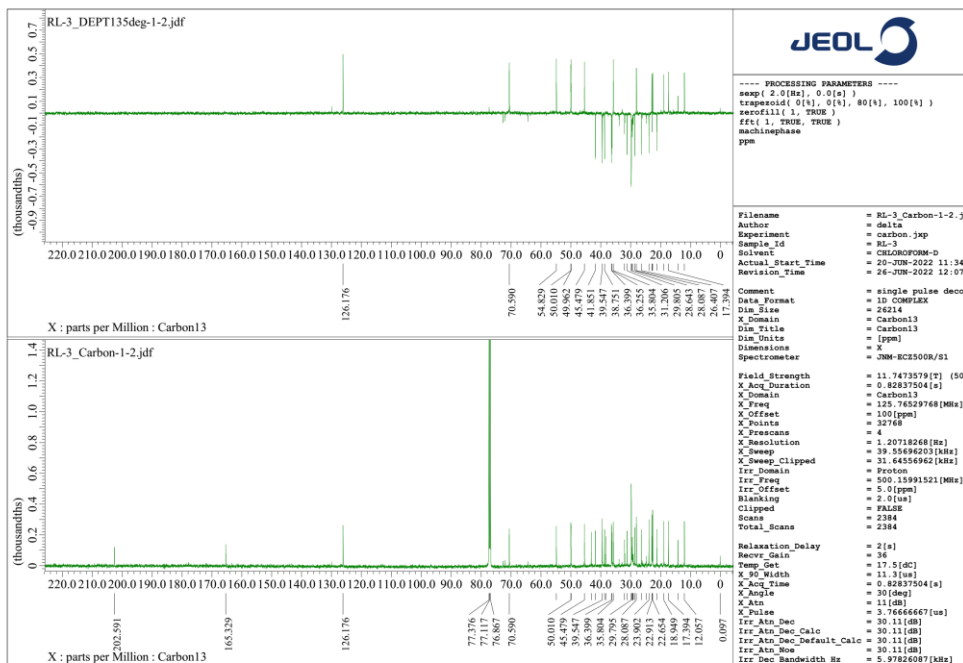
Nilai aktivitas antikanker adalah 293.86 ppm.

Lampiran 12. Data NMR

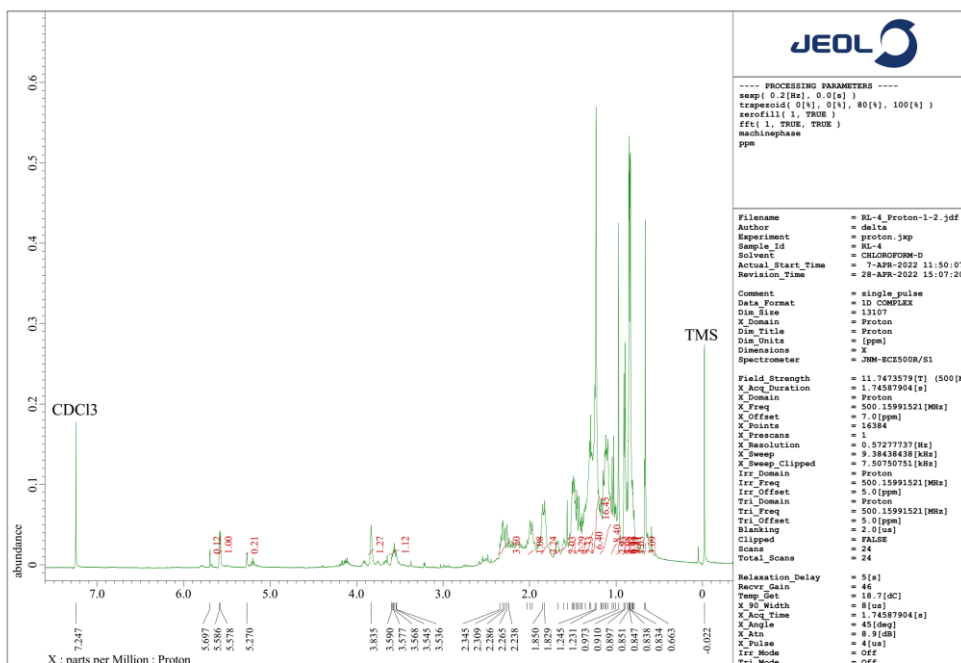
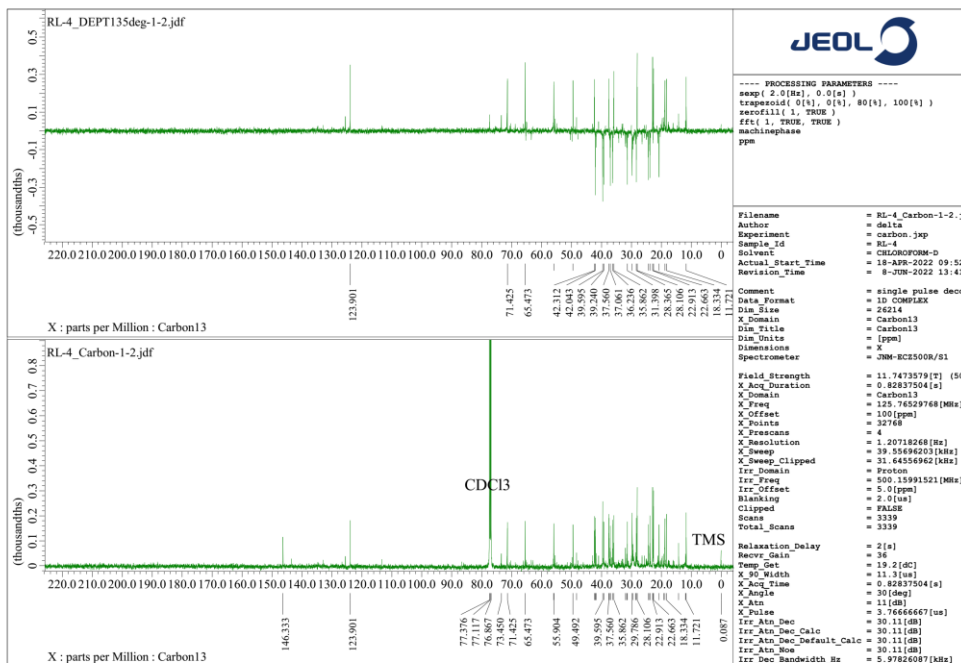
a. Senyawa 1



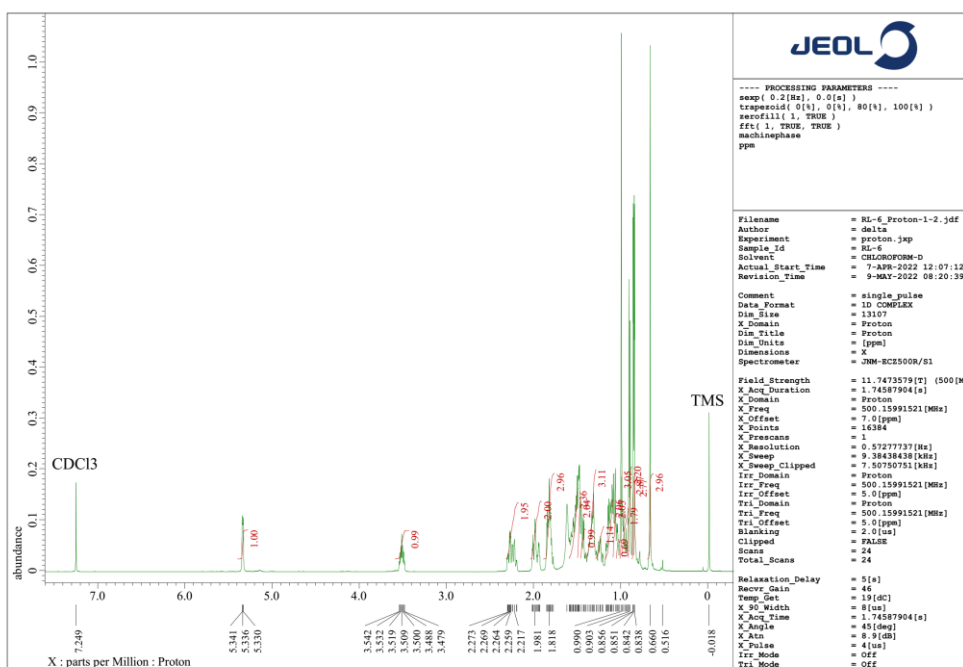
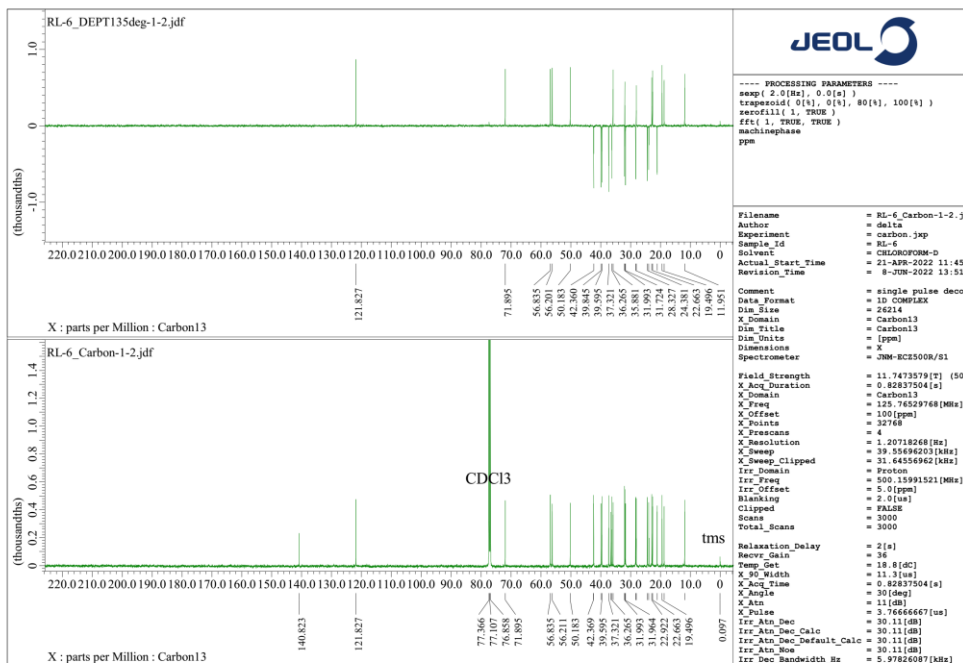
b. Senyawa 2



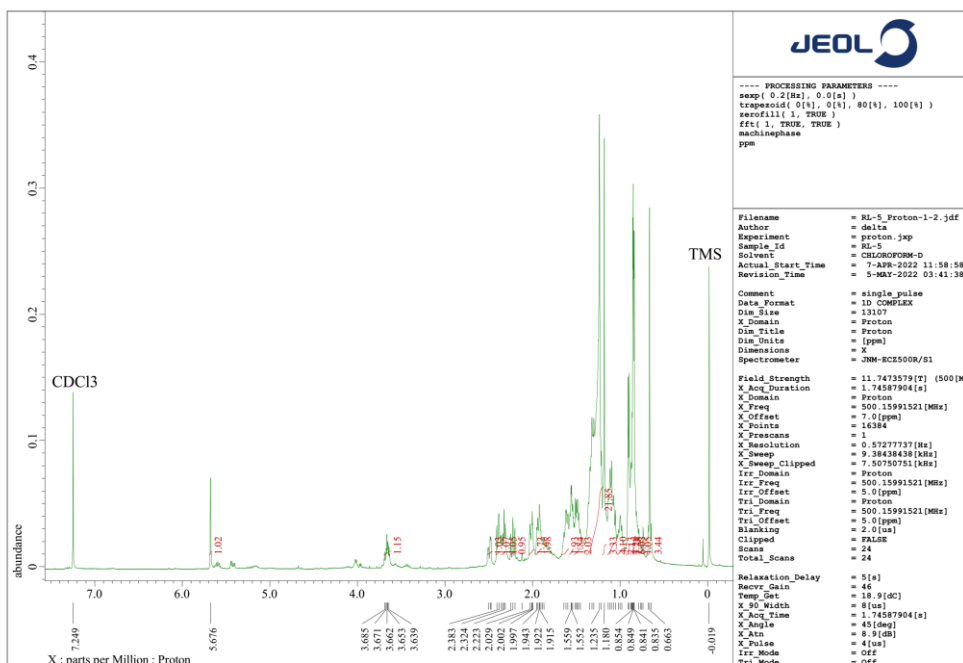
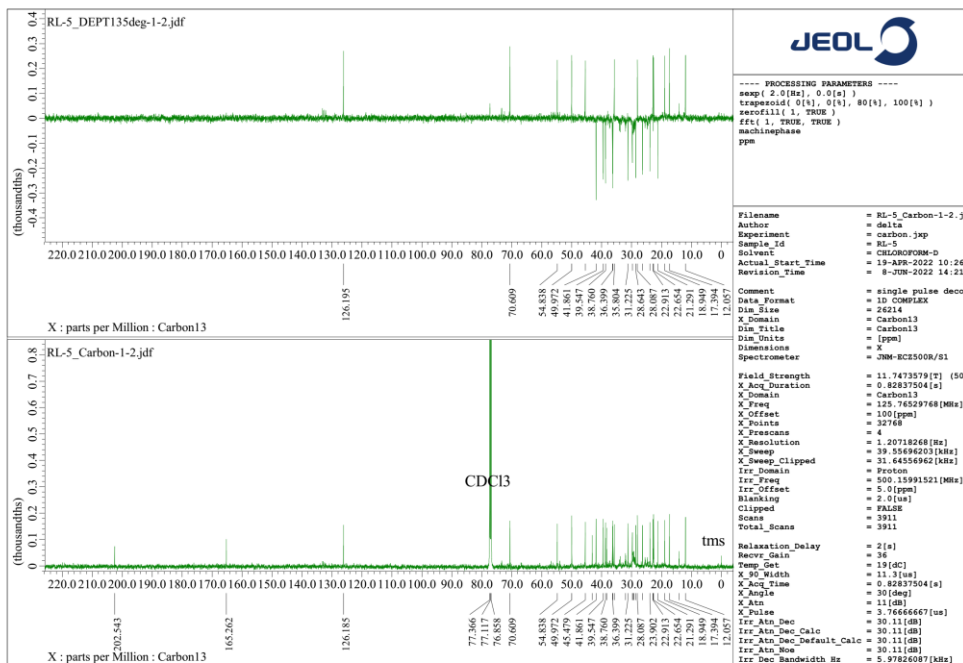
c. Senyawa 3



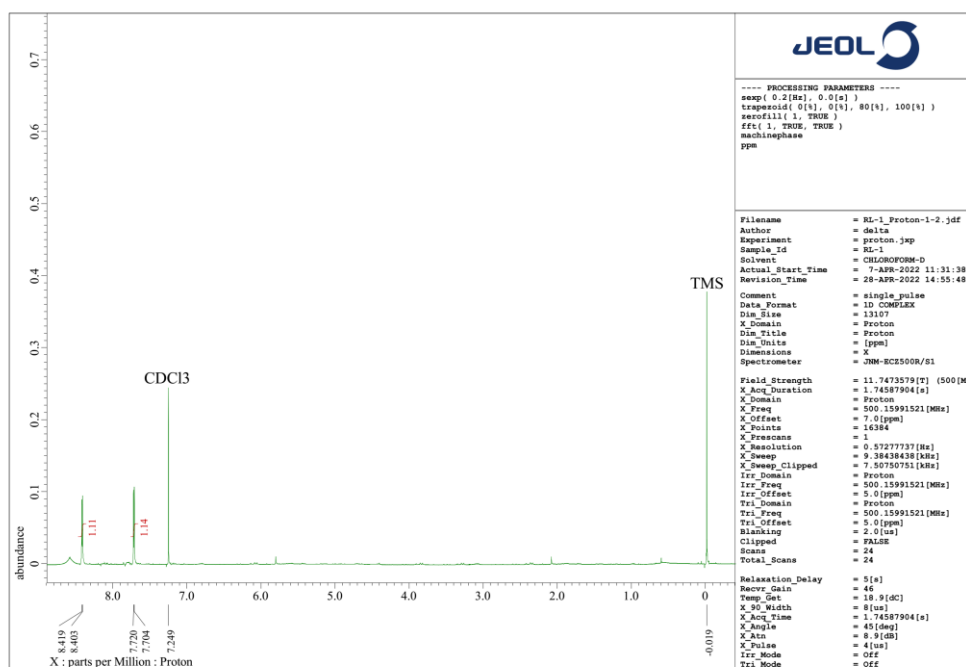
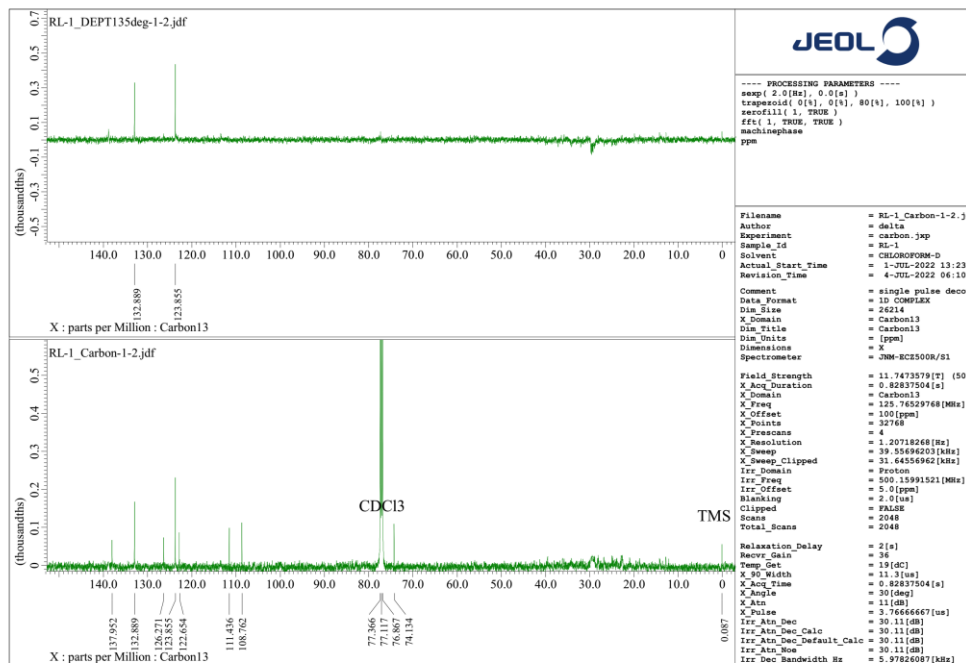
d. Senyawa 4



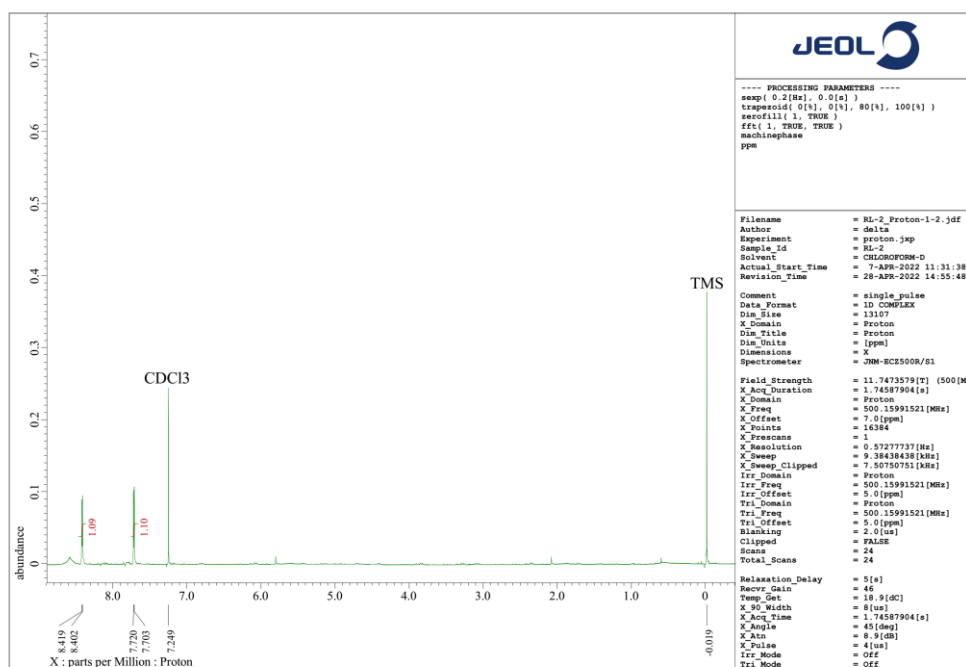
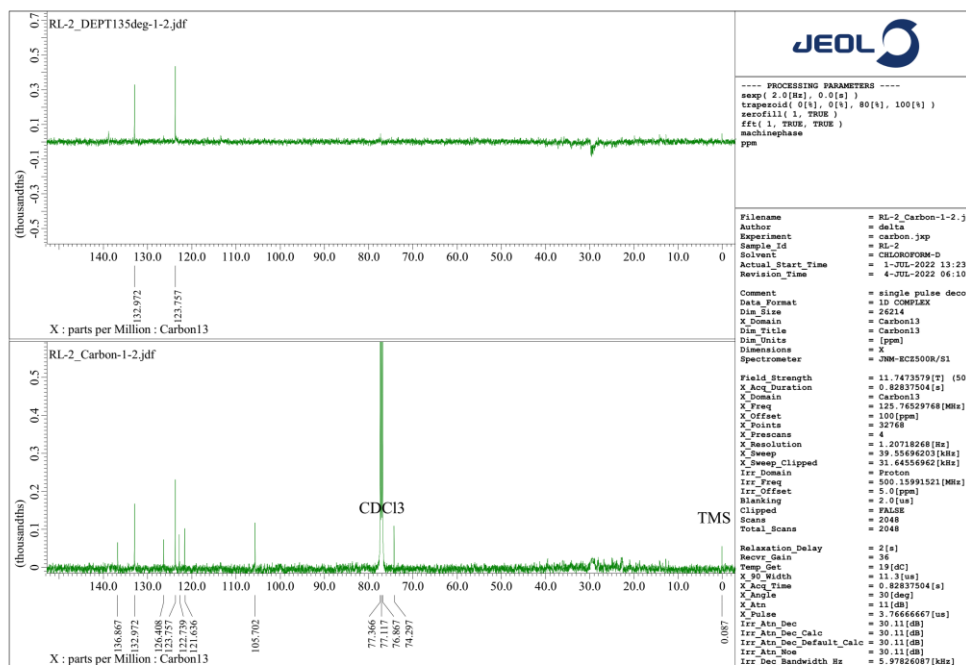
e. Senyawa 5



f. Senyawa 6

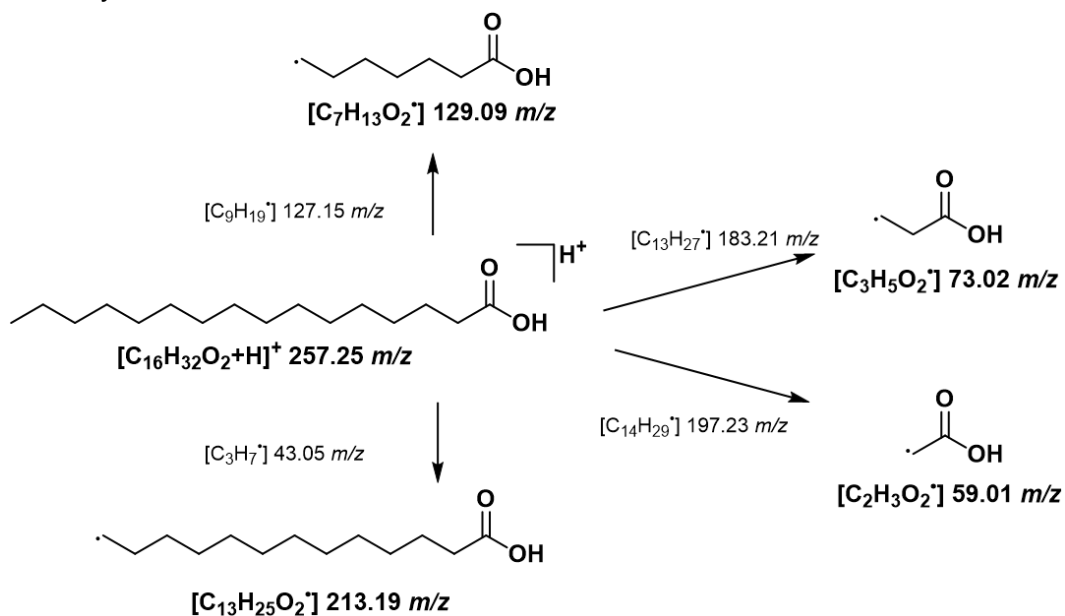


g. Senyawa 7

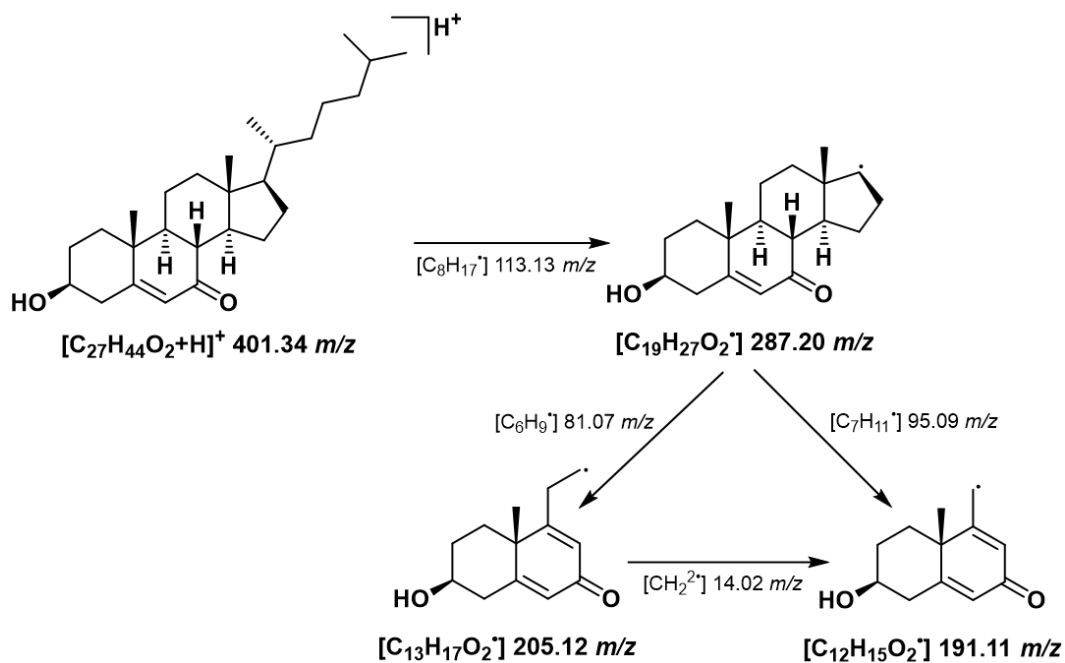


Lampiran 13. Fragmentasi MS

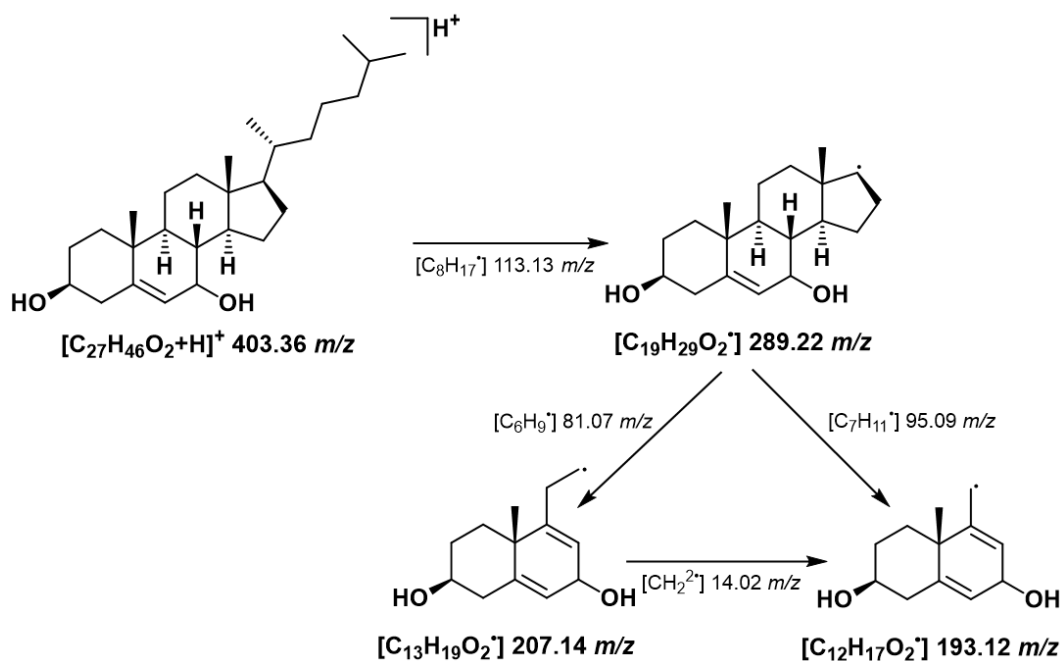
a. Senyawa 1



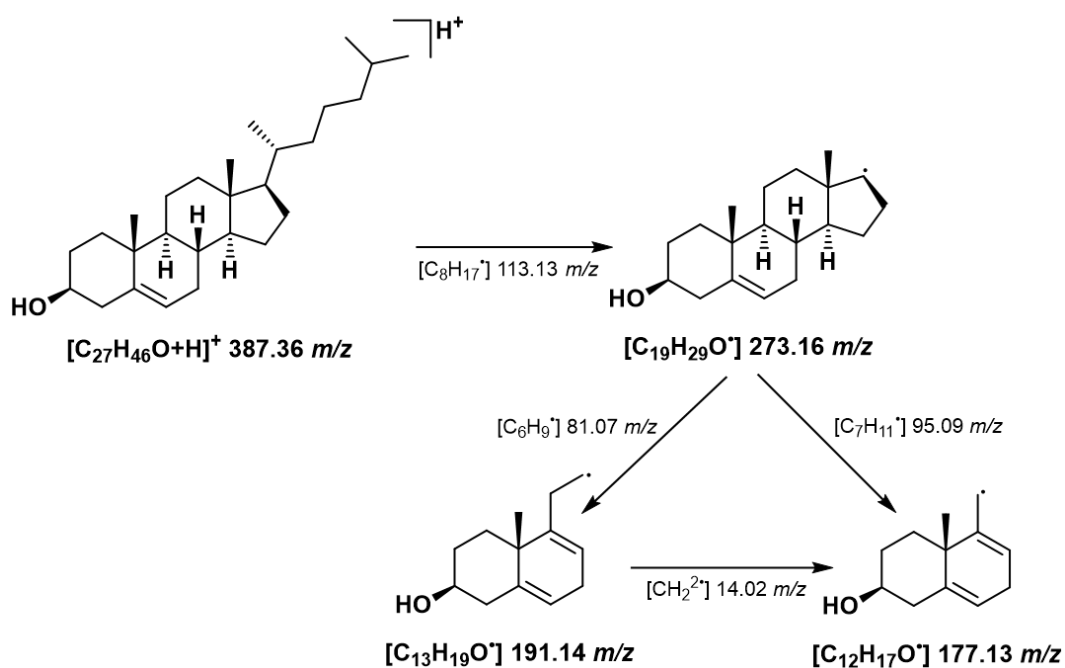
b. Senyawa 2



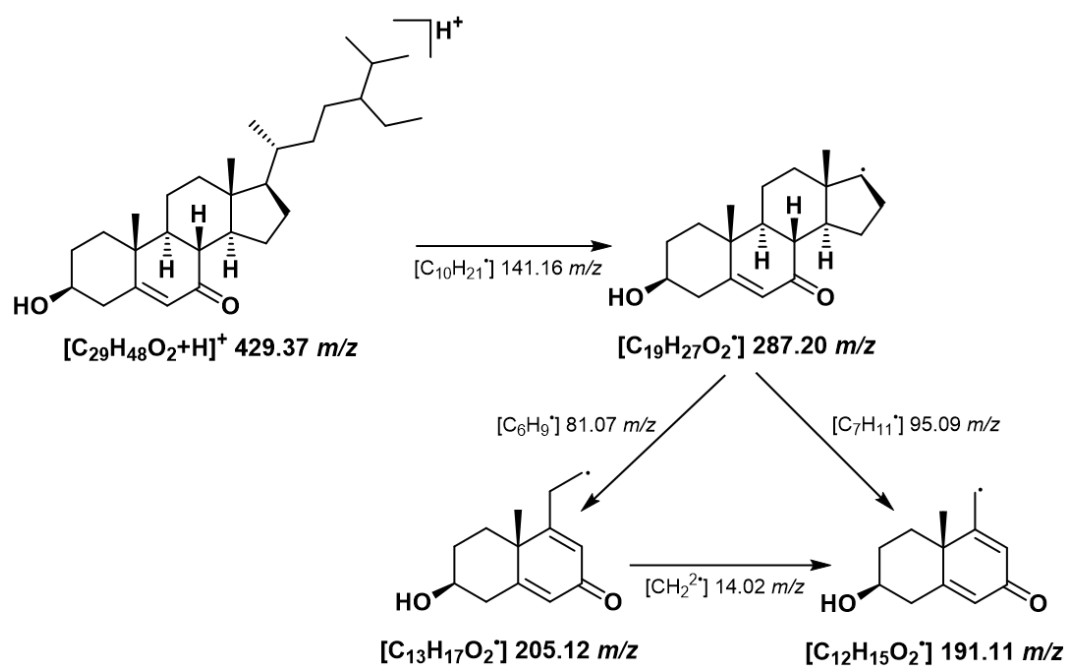
c. Senyawa 3



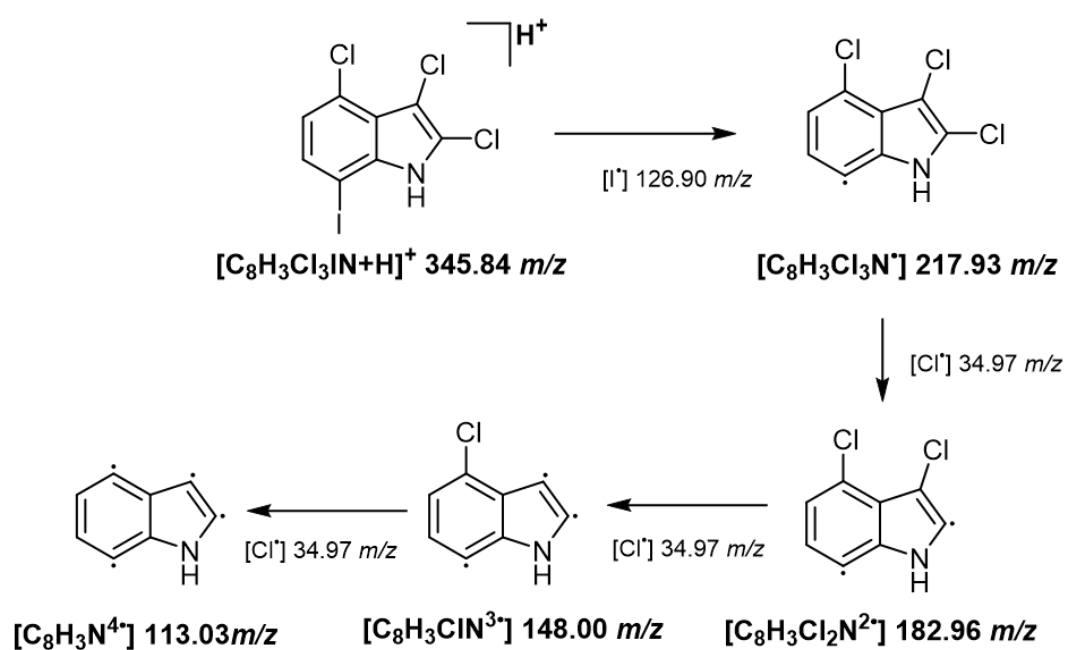
d. Senyawa 4



e. Senyawa 5



f. Senyawa 6



g. Senyawa 7

